

รายงานการวิจัยฉบับสมบูรณ์

เชียงใหม่

การประเมินฤทธิ์ต้านการอักเสบของสารสกัด แกรมม่า-โอไรซานอลจาก粒ข้าวกำลังไถ

Evaluation of Anti-inflammatory Activity of
Gamma-Oryzanol Extracts from Thai Purple Rice Bran

โดย

รองศาสตราจารย์ ดร. ภานุ.บุณบัน ศิริธัญญาลักษณ์
หัวหน้าโครงการวิจัย

อิมสิทธิ์มหาวิทยาลัยเชียงใหม่

Copyright © by Chiang Mai University

คณบดีคณะเภสัชศาสตร์ มหาวิทยาลัยเชียงใหม่

All rights reserved

งานวิจัยนี้ได้รับทุนสนับสนุนจากการบประมาณเงินรายได้ ประจำปี ๒๕๕๗

คณบดีคณะเภสัชศาสตร์ มหาวิทยาลัยเชียงใหม่

กิตติกรรมประกาศ

ผู้วิจัยขอขอบคุณคณะกรรมการสัชนาลศึกษา มหาวิทยาลัยเชียงใหม่ ที่อนุมัติงบประมาณเงินรายได้ประจำปี พ.ศ.2553 แก่คณะผู้วิจัย จึงทำให้โครงการนี้สำเร็จลุล่วงไปด้วยดี และครับขอบคุณที่ช่วยสนับสนุนในด้านสถานที่และเครื่องมืออุปกรณ์ในการดำเนินการวิจัย

ขอขอบคุณ ผู้ช่วยศาสตราจารย์ ดร.ไชยรัตน์ ไชยสุต ที่เคยให้คำปรึกษาเรื่องการทดสอบฤทธิ์ต้านการอักเสบผ่านการยับยั้งการสร้างໃนตริกออกไซด์และ ผู้ช่วยศาสตราจารย์ ดร.สุนีย์ จันทร์สกาน ที่เคยให้คำปรึกษาเรื่องการสกัดแยกสารสกัดแกรมม่า-โอโรชานอลจากจำข้าวกราฟฟ์

สุดท้ายนี้ขอขอบคุณ Dr.Francoise RAYNAUD และนักศึกษาปริญญาเอก Rafika JARRAY จาก Laboratoire de Chimie et Biochimie Pharmacologiques et Toxicologiques-UMR 8601, Institut interdisciplinaire des Sciences du Vivant des Saints-Pères, Université Paris Descartes นครปารีส ประเทศฝรั่งเศส ที่เคยให้คำปรึกษาและแนวทางในการทดสอบฤทธิ์ทางชีวภาพในเซลล์มะเร็ง

พฤษภาคม พ.ศ.2554

คณะผู้วิจัย

จิตติกรรมประกาศ
Copyright © by Chiang Mai University
All rights reserved

บทคัดย่อ

ชื่อเรื่อง การประเมินฤทธิ์ต้านการอักเสบของสารสกัดแกรมม่า-โอโซรานอล
จากรากข้าวกำลัง

ผู้วิจัย รองศาสตราจารย์ ดร.บุญบัน ศิริธัญญาลักษณ์
ภาควิชาชีวเคมีศาสตร์เภสัชกรรม คณะเภสัชศาสตร์ มหาวิทยาลัยเชียงใหม่

คำสำคัญ ฤทธิ์ต้านการอักเสบ, ไนตริกออกไซด์, แกรมม่า-โอโซรานอล

การศึกษาครั้งนี้มีวัตถุประสงค์เพื่อประเมินฤทธิ์ต้านการอักเสบผ่านการยับยั้งการสร้างไนตริกออกไซด์จากเซลล์ mouse macrophage RAW 264.7 ของสารสกัดแกรมม่า-โอโซรานอลที่สกัดจากรากข้าวกำลังและรากข้าวแดงสายพันธุ์พื้นเมืองของไทย โดยทำการเก็บตัวอย่างรากข้าวกำลังดีดีโค (BR-1) ข้าวกำลัง (BR-2) และข้าวกำลัง (BR-3) จากจังหวัดตาก ตัวอย่างข้าวแดงจอมทอง (BR-4) ข้าวแดงดอยหล่อ (BR-5) และข้าวแดงอมก้อย (BR-6) จากจังหวัดเชียงใหม่ นำรากข้าวที่ได้มาสกัดแยกสารสกัดധယาน้ำมัน (crude rice bran oil) ด้วยเทคนิคการสกัดแบบซอหกเลือ๊ฟ จากนั้นจึงนำมาแยกสารสกัดแกรมม่า-โอโซรานอลด้วยเทคนิคคลอร์มันโคโรมาโทกราฟี วิเคราะห์ปริมาณแกรมม่า-โอโซรานอลในสารสกัดแกรมม่า-โอโซรานอลด้วยเทคนิคโคโรมาโทกราฟีของเหลวสมรรถนะสูง (reverse-phase HPLC) พบรากว่าสารสกัดแกรมม่า-โอโซรานอลที่แยกสกัดจากรากข้าวทั้ง 6 ชนิดมีปริมาณแกรมม่า-โอโซรานอลอยู่ในช่วงระหว่าง 1.17 – 10.80% สารสกัดแกรมม่า-โอโซรานอลจากรากข้าวแดงจอมทองมีปริมาณแกรมม่า-โอโซรานอลสูงที่สุด ($10.80 \pm 0.25\%$) ตามมาด้วยรากข้าวกำลัง (8.33 ± 0.13%) รากข้าวกำลัง (8.20 ± 0.23%) รากข้าวแดงดอยหล่อ (6.93 ± 0.05%) รากข้าวแดงอมก้อย (6.25 ± 0.17%) และรากข้าวกำลังดีดีโค (1.17 ± 0.11%) ตามลำดับ จากนั้นจึงคัดเลือกสารสกัดแกรมม่า-โอโซรานอลที่มีปริมาณแกรมม่า-โอโซรานอลมากกว่าร้อยละ 5 มาทำมาตรฐานของสารสกัด (standardization) และนำสารสกัดแกรมม่า-โอโซรานอลมาทดสอบฤทธิ์ต้านการอักเสบผ่านกลไกการยับยั้งการสร้างไนตริกออกไซด์จากเซลล์ mouse macrophage RAW 264.7 ที่ถูกกระตุ้นด้วย LPS และ IFN-γ เปรียบเทียบกับสารมาตรฐานแกรมม่า-โอโซรานอลและสารมาตรฐานโคอร์คูมิน โดยสามารถเรียงลำดับความสามารถในการยับยั้งการสร้างไนตริกออกไซด์จากเซลล์ mouse macrophage RAW 264.7 สารมาตรฐานโคอร์คูมินมีความสามารถยับยั้งการสร้างไนตริกออกไซด์ได้สูงที่สุดโดยมีความเข้มข้นที่สามารถการยับยั้งการสร้างไนตริกออกไซด์ได้

ร้อยละ 50 (50% Inhibition concentration) = $11.78 \pm 1.59 \text{ } \mu\text{g/ml}$ ตามมาด้วยสารสกัดแกรมม่า-โกรีชานอลจากรำข้าวกำปัง (BR-2, $23.69 \pm 1.87 \text{ } \mu\text{g/ml}$) สารมาตรฐานแกรมม่า-โกรีชานอล ($24.12 \pm 1.67 \text{ } \mu\text{g/ml}$) สารสกัดแกรมม่า-โกรีชานอลจากรำข้าวกำต่อ (BR-3, $24.66 \pm 2.31 \text{ } \mu\text{g/ml}$) สารสกัดแกรมม่า-โกรีชานอลจากรำข้าวแดงจอมทอง (BR-4, $26.92 \pm 2.23 \text{ } \mu\text{g/ml}$) สารสกัดแกรมม่า-โกรีชานอลจากรำข้าวแดงดอยหล่อ (BR-5, $34.20 \pm 2.14 \text{ } \mu\text{g/ml}$) และสารสกัดแกรมม่า-โกรีชานอลจากรำข้าวแดงอมก้อย (BR-6, $41.22 \pm 3.09 \text{ } \mu\text{g/ml}$) ตามลำดับ โดยช่วงความเข้มข้นที่ใช้ทดสอบฤทธิ์ต้านการอักเสบไม่มีความเป็นพิษต่อเซลล์ mouse macrophage RAW 264.7 จากการวิเคราะห์ทางสถิติพบว่าความเข้มข้นที่สามารถยับยั้งการสร้างไนตริกออกไซด์ได้ร้อยละ 50 ของสารมาตรฐานแกรมม่า-โกรีชานอล สารสกัดแกรมม่า-โกรีชานอลจากรำข้าวกำปัง รำข้าวกำต่อ และรำข้าวแดงจอมทองมีค่าไม่แตกต่างกันอย่างมีนัยสำคัญทางสถิติที่ระดับความนำเชื่อมั่น 95% ข้อมูลที่ได้จากการศึกษาวิจัยครั้งนี้จะใช้เป็นข้อมูลพื้นฐานในการศึกษาฤทธิ์ต้านการอักเสบของสารสกัดแกรมม่า-โกรีชานอลในกลไกดับโมเลกุลต่อไป

จิรศิริ์น hairy อ้าย เชียงใหม่
 Copyright[©] by Chiang Mai University
 All rights reserved

ABSTRACT

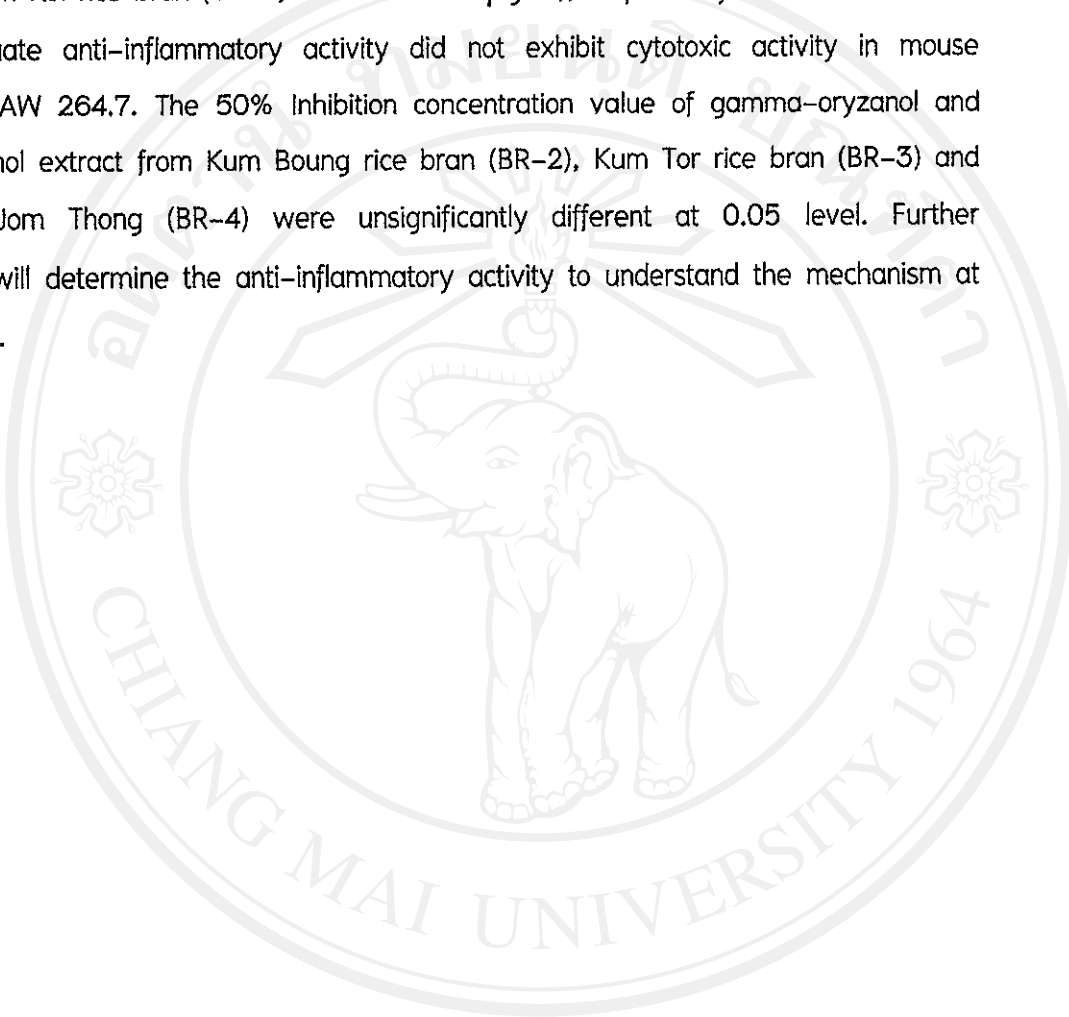
TITLE Evaluation of Anti-inflammatory Activity of Gamma-Oryzanol from Thai Purple Rice Bran

RESEARCHER Associate Prof. Dr.Busaban Sirithunyalug
Department of Pharmaceutical Sciences
Faculty of Pharmacy, Chiang Mai University

KEYWORDS Anti-inflammatory activity, Nitric oxide, Gamma-oryzanol

This study was carried out to evaluate anti-inflammatory activity through the inhibition of nitric oxide production from mouse macrophage RAW 264.7 cell line of gamma-oryzanol extracts from Thai purple rice bran and red rice bran. Three cultivars of Thai purple rice were collected from Tak province, namely Kum Jadeekho (BR-1), Kum Boung (BR-2) and Kum Tor (BR-3). Three cultivars of Thai red-rice were collected from Chiang Mai province, namely Khao' Dang Jom Thong (BR-4), Khao' Dang Doi Lo (BR-5) and Khao' Dang Omkoi (BR-6). Crude rice bran was extracted to rice bran oil by soxhlet's extraction technique. Then, crude rice bran oils were semi-purified by column chromatography to obtain the gamma-oryzanol rich extracts. The amount of gamma-oryzanol was analyzed by the reverse-phase HPLC. Gamma-oryzanol extracts from rice bran of 6 cultivars have gamma-oryzanol content between 1.17–10.80%. Gamma-oryzanol extract from Khao' Dang Jom Thong rice bran exhibited the highest gamma-oryzanol content ($10.80 \pm 0.25\%$), followed by Kum Boung rice bran ($8.33 \pm 0.13\%$) Kum Tor rice bran ($8.20 \pm 0.23\%$) Khao' Dang Doi Lo rice bran ($6.93 \pm 0.05\%$) Khoa' Dang Om Koi rice bran ($6.25 \pm 0.17\%$) and Kum Jadeekho ($1.17 \pm 0.11\%$), respectively. Then, gamma-oryzanol extracts with gamma-oryzanol content more than 5% were selected to standardization before evaluation of anti-inflammatory activity through nitric oxide production from mouse macrophage RAW 264.7 cell line induced by lipopolysaccharide and interferon- γ . The activities were compared to gamma-oryzanol and curcumin. Curcumin exerted the highest inhibition on nitric oxide production with 50% Inhibition concentration value of $11.78 \pm 1.59 \mu\text{g/ml}$, followed by gamma-oryzanol extract from Kum Boung rice bran (BR-

2, $23.69 \pm 1.87 \mu\text{g/ml}$), standard gamma-oryzanol ($24.12 \pm 1.67 \mu\text{g/ml}$), gamma-oryzanol extract from Kum Tor rice bran (BR-3, $24.66 \pm 2.31 \mu\text{g/ml}$), gamma-oryzanol extract from Khao' Dang Jom Thing rice bran (BR-4, $26.92 \pm 2.23 \mu\text{g/ml}$), gamma-oryzanol extract from Khao' Dang Doi Lo rice bran (BR-5, $34.20 \pm 2.14 \mu\text{g/ml}$) and gamma-oryzanol extract from Khao' Dang Om Koi rice bran (BR-6, $41.22 \pm 3.09 \mu\text{g/ml}$), respectively. The concentrations used to evaluate anti-inflammatory activity did not exhibit cytotoxic activity in mouse macrophage RAW 264.7. The 50% Inhibition concentration value of gamma-oryzanol and gamma-oryzanol extract from Kum Boung rice bran (BR-2), Kum Tor rice bran (BR-3) and Khao' Dang Jom Thong (BR-4) were unsignificantly different at 0.05 level. Further investigations will determine the anti-inflammatory activity to understand the mechanism at molecular level.



â€¢
Copyright[©] by Chiang Mai University
All rights reserved

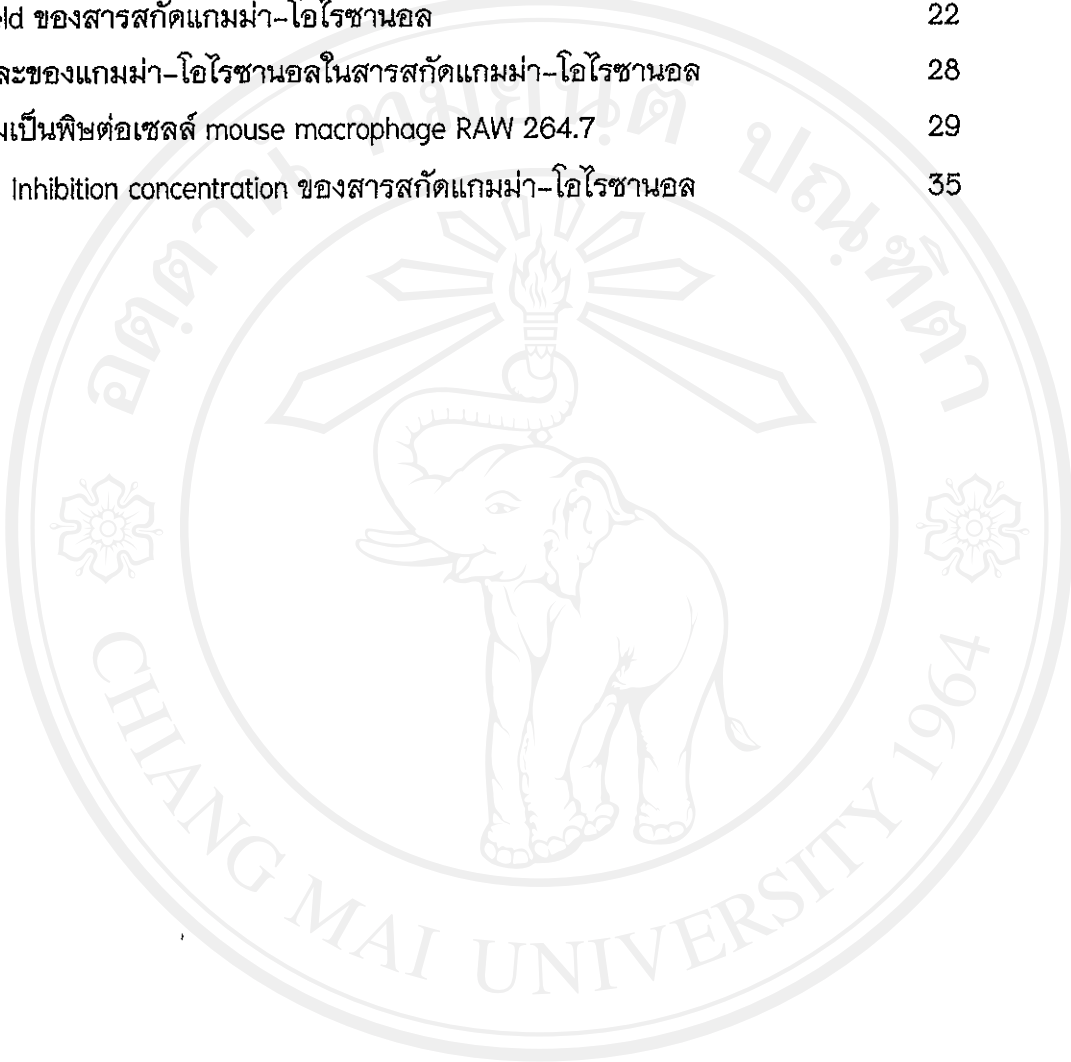
สารบัญ

| | หน้า |
|---|------|
| กิตติกรรมประกาศ | i |
| บทคัดย่อ | ii |
| Abstract | iv |
| สารบัญ | vi |
| สารบัญตาราง | vii |
| สารบัญรูป | viii |
| บทที่ 1 ที่มีและความสำคัญของปัญหาการทดลอง | 1 |
| บทที่ 2 ทบทวนวรรณกรรม | 3 |
| บทที่ 3 การทดลอง | 14 |
| บทที่ 4 ผลการทดลองและวิเคราะห์ผลการทดลอง | 21 |
| บทที่ 5 สรุปผลการทดลอง | 37 |
| เอกสารอ้างอิง | 38 |

ลิขสิทธิ์มหาวิทยาลัยเชียงใหม่
Copyright[©] by Chiang Mai University
All rights reserved

สารบัญตาราง

| | หน้า |
|---|------|
| ตารางที่ 1 %yield ของสารสกัดหัวข้าว (crude rice bran oil) | 21 |
| ตารางที่ 2 %yield ของสารสกัดแกรมม่า-โอไรซานอล | 22 |
| ตารางที่ 3 ร้อยละของแกรมม่า-โอไรซานอลในสารสกัดแกรมม่า-โอไรซานอล | 28 |
| ตารางที่ 4 ความเป็นพิษต่อเซลล์ mouse macrophage RAW 264.7 | 29 |
| ตารางที่ 5 50% Inhibition concentration ของสารสกัดแกรมม่า-โอไรซานอล | 35 |



อิชิกิรินมหาวิทยาลัยเชียงใหม่
 Copyright[©] by Chiang Mai University
 All rights reserved

สารบัญรูป

| | หน้า |
|---|------|
| รูปที่ 1 สาระสำคัญหลักที่พบในแกรมม่า-โอโซชานอล | 5 |
| รูปที่ 2 HPLC โครมาโทแกรมของสารสำคัญที่พบในแกรมม่า-โอโซชานอล | 7 |
| รูปที่ 3 ปฏิกิริยาของ Griess reagent system | 10 |
| รูปที่ 4 HPLC โครมาโทแกรมของสารมาตรฐานแกรมม่า-โอโซชานอลความเข้มข้น 25 ppm | 23 |
| รูปที่ 5 HPLC โครมาโทแกรมของสารมาตรฐานแกรมม่า-โอโซชานอลความเข้มข้น 50 ppm | 23 |
| รูปที่ 6 HPLC โครมาโทแกรมของสารสกัดแกรมม่า-โอโซชานอล ที่ได้จากการตีเส้นที่ 9:1 | 24 |
| รูปที่ 7 HPLC โครมาโทแกรมของสารสกัดแกรมม่า-โอโซชานอล ที่ได้จากการตีเส้นที่ 7:3 | 25 |
| รูปที่ 8 HPLC โครมาโทแกรมของสารสกัดแกรมม่า-โอโซชานอล ที่ได้จากการตีเส้นที่ 1:1 | 25 |
| รูปที่ 9 HPLC โครมาโทแกรมของสารสกัดแกรมม่า-โอโซชานอลจากรากข้าวกำปัง (BR-2) | 26 |
| รูปที่ 10 HPLC โครมาโทแกรมของสารสกัดแกรมม่า-โอโซชานอลจาก รากข้าวแดงจอมทอง (BR-4) | 26 |
| รูปที่ 11 กราฟมาตรฐานของสารมาตรฐานแกรมม่า-โอโซชานอล | 27 |
| รูปที่ 12 ความเป็นพิษต่อเซลล์ mouse macrophage RAW 264.7 ของสารสกัด แกรมม่า-โอโซชานอล สารมาตรฐานแกรมม่า-โอโซชานอลและสารมาตรฐานเคอร์คูมิน | 30 |
| รูปที่ 13 กราฟมาตรฐานของโพแทสเซียมในตรีท | 31 |
| รูปที่ 14 Dose response curve ของสารสกัดแกรมม่า-โอโซชานอลจากรากข้าวกำปัง (BR-2) ในการยับยั้งการสร้างไนตริกออกไซด์ | 31 |
| รูปที่ 15 Dose response curve ของสารสกัดแกรมม่า-โอโซชานอลจากรากข้าวกำปัง (BR-3) ในการยับยั้งการสร้างไนตริกออกไซด์ | 32 |
| รูปที่ 16 Dose response curve ของสารสกัดแกรมม่า-โอโซชานอลจากรากข้าวแดงจอมทอง (BR-4) ใน การยับยั้งการสร้างไนตริกออกไซด์ | 32 |
| รูปที่ 17 Dose response curve ของสารสกัดแกรมม่า-โอโซชานอลจากรากข้าวแดงจอมทอง (BR-5) ใน การยับยั้งการสร้างไนตริกออกไซด์ | 33 |
| รูปที่ 18 Dose response curve ของสารสกัดแกรมม่า-โอโซชานอลจากรากข้าวแดงจอมทอง (BR-6) ใน การยับยั้งการสร้างไนตริกออกไซด์ | 33 |

สารบัญรูป (ต่อ)

หน้า

| | |
|--|----|
| รูปที่ 19 Dose response curve ของสารมาตรฐานแกรมม่า-ໂໂไรซานคล ในการยับยั้งการสร้างไนโตริกออกไซด์ | 34 |
| รูปที่ 20 Dose response curve ของสารมาตรฐานเดอว์คูมิน ในการยับยั้งการสร้างไนโตริกออกไซด์ | 34 |



ลิขสิทธิ์มหาวิทยาลัยเชียงใหม่
Copyright © by Chiang Mai University
All rights reserved

บทที่ 1

ที่มาและความสำคัญของปัญหาการทดลอง

ไนตริกออกไซด์ (nitric oxide, NO) เป็นอนุมูลที่ถูกสร้างขึ้นในร่างกายจาก L-arginine โดยเอนไซม์ nitric oxide synthase (NOS) ซึ่งมีทั้งหมด 3 ไอโซฟอร์ม คือ inducible NOS (iNOS), endothelial NOS (eNOS) และ neuronal NOS (nNOS) มีการศึกษาวิจัยพบว่ามีการหลั่งไนตริกออกไซด์จากแมคโครฟลาจ (macrophage) ในกระบวนการต่อต้านการอักเสบผ่านการกระตุ้น iNOS และยังพบว่าไนตริกออกไซด์สามารถกระตุ้นเอนไซม์ cyclooxygenase-2 (COX-2) ซึ่งเป็นเอนไซม์ที่ใช้ในการผลิต prostaglandins ซึ่งเป็นสารสื่อสารที่สำคัญในกระบวนการอักเสบและยังพบว่าสามารถกระตุ้นการผลิต interleukin-1 (IL-1) และ tumor necrosis factor (TNF) ซึ่งเป็น cytokines ที่มีบทบาทสำคัญในการอักเสบ ไนตริกออกไซด์ยังสามารถสร้างความเสียหายต่อตีนอ่อน เอในภาวะที่มีออกซิเจนโดยทำปฏิกิริยากับออกซิเจนเกิดเป็นไนโตรเจน ไทรออกไซด์ (N_2O_3) แล้วสามารถเข้าทำลายดีเอ็นเอโดยการเกิดปฏิกิริยา deamination

เมื่อระบบภูมิคุ้มกันของร่างกายตอบสนองต่อกระบวนการอักเสบ จะทำให้เกิดการเนนี่ยวน้ำเชลล์ที่เกี่ยวข้องกับการอักเสบ ได้แก่ แมคโครฟลาจ (macrophage), อิโอซินอฟิล (eosinophil) และนิวทรอฟิล (neutrophil) เป็นต้น ให้เคลื่อนที่มายังบริเวณที่เกิดการอักเสบ ในขณะเดียวกันเชลล์เหล่านี้จะกระตุ้นให้ออนุมูลอิสระจำนวนมาก ได้แก่ ออนุมูลอิสระไฮดรอกซิล (hydroxyl) ซุปเปอร์ออกไซด์ (superoxide) ไนตริกออกไซด์และเปอร์ออกซิไนตริต (peroxynitrite) เป็นต้น ซึ่งออนุมูลอิสระเหล่านี้ไม่เพียงแต่ทำลายเชลล์ที่เกิดการอักเสบเท่านั้น ยังสามารถเปลี่ยนแปลงสารชีวโมเลกุลทุกๆ ชนิด ได้แก่ ดีเอ็นเอ โปรตีนและไขมันในเซลล์ร่างกายด้วย เช่น deamination, alkylation, oxidation และ nitration หรือทำลายโครงสร้างของดีเอ็นเอ (DNA strand break) ซึ่งนำไปสู่การกลายพันธุ์ซึ่งมีโอกาสพัฒนาในการเกิดมะเร็งได้ มีการศึกษาพบว่าออนุมูลอิสระเปอร์ออกซิไนตริกและไนตริกออกไซด์สามารถทำลายดีเอ็นเอโดยการทำปฏิกิริยาของอนุมูลอิสระซุปเปอร์ออกไซด์และไนตริกออกไซด์สามารถทำลายดีเอ็นเอได้มากกว่าไนตริกออกไซด์ในความเข้มข้นที่เท่ากัน โดยพบว่าไนตริกออกไซด์สามารถเข้าทำปฏิกิริยากับ adenine, guanine และ cytosine ส่วนเปอร์ออกซิไนตริกและไนตริกออกไซด์สามารถเข้ากับปฏิกิริยากับ guanine เพียงอย่างเดียว โดยทำปฏิกิริยาแบบ oxidation และ nitration ได้ผลิตภัณฑ์เป็น 8-oxodGua และ 8-nitroGua และยังสามารถทำปฏิกิริยาโดยตรงกับส่วนที่เป็นน้ำตาลของดีเอ็นเอทำให้เกิด Strand break ได้และยังพบว่าออนุมูลอิสระเหล่านี้มีบทบาทสำคัญในกระบวนการก่อมะเร็งในระยะต่างๆ เช่น initiation, promotion และ progression เป็นต้น สำหรับการอักเสบเรื้อรัง (chronic inflammation) มีความสัมพันธ์กับการเกิดมะเร็งโดยเฉพาะมะเร็งลำไส้ใหญ่และเต้านม มีการศึกษาวิจัยพบว่ายาที่สามารถยับยั้งเอนไซม์ COX-2 ซึ่งเป็นเอนไซม์ที่เร่งปฏิกิริยา

การสังเคราะห์ prostaglandin (PGs) จาก arachidonic acid ได้แก่ ยากรสุ่มแอกซิโนและ Non-Steroidal Anti-inflammatory Drugs (NSAIDs) เป็นสารที่สามารถป้องกันการก่อมะเร็งในโรคมะเร็งลำไส้ใหญ่และไส้ตรงได้ (Chun et al., 2004)

ข้าวถือเป็นพืชเศรษฐกิจและเป็นอาหารหลักของคนไทย ประเทศไทยและประเทศในแถบเอเชียตะวันออกเฉียงใต้เป็นผู้ผลิตข้าวแห่งใหญ่ที่ส่งออกไปจำหน่ายยังประเทศต่างๆ ทั่วโลก ข้าวที่คนไทยนิยมบริโภคเป็นอาหารหลักประจำวันเป็นข้าวที่ผ่านการขัดสีเอาเยื่อหุ้มเมล็ดข้าวหรือที่เรียกว่า รำข้าวและจะมีข้าว ซึ่งอุดมด้วยคุณค่าสารอาหารรวมถึงวิตามินและแร่ธาตุที่มีประโยชน์ต่อสุขภาพอย่างมากอีกด้วย เมื่อนำรำข้าวและจะมีข้าวมาสกัดจะได้น้ำมันรำข้าวและจะมีข้าวสารธรรมชาติที่พบในน้ำมันรำข้าวและจะมีข้าว ได้แก่ แกรมมา-โอไรซานอล วิตามินอีกสูตรโนล (Tocotrienol) ไฟโตเตอรอล (Phytosterol) และกรดไขมันกลุ่มโอเมก้า 9-6-3 โดยน้ำมันรำข้าวและจะมีข้าวสารที่มีคุณประโยชน์มากอย่าง โอไรซานอลเป็นสารที่มีคุณประโยชน์มากอย่าง เช่น ลดความเสี่ยงของโรคหัวใจและหลอดเลือด ลดความเสี่ยงของการเกิดมะเร็ง ยับยั้งการเกิด Platelet Aggregation ลดコレสเตอรอลและต้านออกซิเดชัน เป็นต้น โดยเฉพาะแกรมมา-โอไรซานอล (Gamma-Oryzanol) ซึ่งเป็นรูปแบบที่มีฤทธิ์ได้ดีที่สุด โดยมีการประเมินประสิทธิภาพของรำข้าวในการป้องกันมะเร็งลำไส้ในหนูทดลอง พบว่าหนูทดลองที่กินรำข้าวสามารถลดจำนวน Intestinal adenoma ได้ถึง 51% เมื่อเปรียบเทียบกับหนูทดลองในกลุ่มที่ได้รับอาหารปกติ (Verschoyle et al., 2007) นอกจากนี้ยังมีรายงานวิจัยพบว่าสารกลุ่มโพรเจกติโอลและโพรเจกติโอล (tocopherol and tocotrienol) สารในกลุ่มนี้มีรายงานฤทธิ์ต้านออกซิเดชันและฤทธิ์ต้านการอักเสบ โดยมีรายงานวิจัยพบว่าโพรเจกติโอลเป็นสารที่มีฤทธิ์ต้านการอักเสบผ่านกลไกการยับยั้งการกระตุ้น transcription factor NF-KB ทึ้งยังสามารถป้องกันการเกิดโรคหลอดเลือดหัวใจในหนูที่เป็นเบาหวานอีกด้วย

ปัจจุบันพบว่าอุบัติการณ์ของมะเร็งลำไส้ใหญ่และไส้ตรงมีแนวโน้มสูงขึ้นเรื่อยๆ อาจเป็นผลเนื่องมาจากการพฤติกรรมการบริโภคได้เปลี่ยนแปลงไป โดยทันไปให้ความนิยมกับอาหารประเภทแบ่งไขมันและเนื้อสัตว์ รวมทั้งมีโอกาสสัมผัสกับสารก่อมะเร็งมากขึ้น เช่น สารเคมีและสารพิษในอาหาร ครัวบุหรี่ รังสี สารพิษจากเชื้อจุลทรรศน์ก่อโรค เป็นต้น จากที่กล่าวมาข้างต้นแสดงให้เห็นว่า การอักเสบเรื้อรังของระบบทางเดินอาหารมีความสัมพันธ์กับการก่อมะเร็งลำไส้ใหญ่และไส้ตรง

คณะกรรมการวิจัยแห่งชาติไทยมีพันธุ์ข้าวหลาภุลสายพันธุ์ ไม่ว่าจะเป็นข้าวขาว ข้าวแดง และข้าวกำ ทั้งยังขาดข้อมูลการวิจัยทางวิทยาศาสตร์รองรับศักยภาพในการป้องกันการก่อมะเร็งผ่านกลไกการยับยั้งการอักเสบ คณะกรรมการวิจัยจึงมีความสนใจศึกษาศักยภาพในการป้องกันการก่อมะเร็ง (chemoprevention) ผ่านกระบวนการอักเสบโดยกลไกการยับยั้งการสร้างไตรกอออกไซด์จากเซลล์ mouse macrophage RAW 264.7 ของสารสกัดแกรมมา-โอไรซานอลจากรำข้าวกำและรำข้าวแดงของไทย

บทที่ 2

ทบทวนวรรณกรรม

ข้าว

ข้าวเป็นพืชอาหารที่สำคัญชนิดหนึ่งของโลก โดยเฉพาะประเทศไทยในภูมิภาคเอเชียที่นิยมรับประทานข้าวเป็นอาหารประจำวันมากกว่าในภูมิภาคอื่นๆ ของโลก การผลิต บริโภคและการค้าข้าวส่วนใหญ่จึงกระจุกตัวอยู่ในทวีปเอเชีย ข้าวเป็นพืชในเขตตอนซึ่งต้องการอุณหภูมิและความชื้นสูงในการเจริญเติบโต ประเทศไทยจึงเป็นประเทศหนึ่งที่เหมาะสมกับการปลูกข้าว พันธุ์ข้าวของไทยเป็นที่นิยมของประชากรที่บริโภคข้าวทั่วโลก อีกทั้งภูมิอากาศและภูมิประเทศของประเทศไทยเหมาะสมกับการเจริญเติบโต แต่ข้าวที่ผลิตได้ส่วนใหญ่จะใช้ในการบริโภคภายในประเทศ ทำให้มีข้าวเพียงร้อยละ 6 เท่านั้นที่เข้าสู่ตลาดการค้าข้าวระหว่างประเทศ โดยประเทศที่มีบทบาทมากที่สุดในการส่งออกข้าว คือประเทศไทย รองลงมาคือ อินเดีย เวียดนาม จีนและพม่า ตามลำดับ โดยประเทศไทยส่งออกข้าวปีละประมาณ 7 ล้านตัน เป็นสัดส่วนประมาณร้อยละ 36 ของการส่งออกข้าวทั้งหมดทั่วโลก จึงนับได้ว่าข้าวเป็นพืชเศรษฐกิจหลักที่สำคัญของประเทศไทย ซึ่งสมควรอย่างยิ่งที่จะได้รับการส่งเสริมในด้านการเพาะปลูก

ข้าวที่นำมาปลูกเป็นอาหารนั้นแบ่งออกได้เป็น 2 ชนิด คือ ข้าว *Oryza sativa L.* ปลูกในทวีปเอเชียและ *Oryza glaberrima* Steud ปลูกในทวีปแอฟริกา แต่ข้าวที่ค้าขายกันในตลาดโลกเกือบทั้งหมดเป็นข้าวที่ปลูกจากแบบเอเชีย ซึ่งข้าวชนิดดังกล่าวสามารถแบ่งได้ตามแหล่งปลูกอีก คือ

ข้าวอินดิค่า (*Indica*) มีลักษณะเมล็ดยาวรี ต้นสูง เป็นข้าวที่ปลูกในเอเชียเขตร้อน (tropical race) ตั้งแต่เวียดนาม พิลิปปินส์ ไทย อินโดนีเซีย ศรีลังกา ตอนใต้ของอินเดียและลุ่มแม่น้ำแยงซีเกียร์ ของประเทศจีน ข้าวพันธุ์นี้คันพบครั้งแรกในประเทศอินเดียและต่อมาได้พัฒนาไปปลูกที่ทวีปอเมริกา

ข้าวคาดอนิกา (*Japonica*) เป็นข้าวที่ปลูกในเขตขอบอุ่น เช่น ประเทศไทย ญี่ปุ่น เกาหลี มีลักษณะเมล็ดป้อมกลมรี ต้นเตี้ย

ข้าวจาวานิกา (*Javanica*) มีลักษณะต้นสูง เมล็ดป้อมใหญ่ สันนิษฐานว่าจะเป็นผลการคัดเลือกข้าวพากอินดิค่า ปลูกในประเทศไทยอินโดนีเซียและพิลิปปินส์ แต่ไม่ได้รับความนิยม เพราะให้ผลผลิตต่ำ

จากสภาพความผันแปรทางภูมิศาสตร์และภูมิอากาศ ประกอบกับการคัดเลือกของมนุษย์ ทำให้มีพันธุ์ข้าวทั่วโลกประมาณ 120,000 สายพันธุ์ สำหรับข้าวที่ปลูกในไทยเป็นพันธุ์ข้าวเมล็ดยาว คือ ข้าวอินดิค่า แต่ประกอบด้วยหลายสายพันธุ์ทั้งที่มีการพัฒนาขึ้นใหม่และข้าวพันธุ์พื้นเมืองซึ่งมีอยู่ประมาณ 3,500 สายพันธุ์ ซึ่งมีข้าวปา ข้าวพื้นเมืองและข้าวที่ผสมโดยมนุษย์ขึ้นมาใหม่ แต่ข้าว

พันธุ์ที่สร้างชื่อเสียงให้กับไทยมากที่สุด คือ ข้าวหอมมะลิ ข้าวมีชื่อทางวิทยาศาสตร์ว่า *Oryza sativa* L. จัดเป็นชั้นพืชในวงศ์ Poaceae เป็นแหล่งอาหารหลักที่ให้คาร์บอไฮเดรตเพื่อเพิ่ม พลังงาน นอกจากการเป็นอาหารในชีวิตประจำวันของประชากรส่วนใหญ่ของโลกแล้ว ยังมีการนำ ข้าวมาแปรรูปเป็นผลิตภัณฑ์อื่น เช่น ข้าวมัก ขنمไทยที่ใช้แบ่งข้าวเหนียวและ/หรือแบ่งข้าวจ้าว เครื่องดื่มประเภทเหล้าอย่างและอื่น ๆ ข้าวที่ปลูกในประเทศไทยทั้งข้าวเจ้าและข้าวเหนียว ซึ่ง ต่างประกอบด้วยแบ่งในปริมาณร้อยละ 80 – 90 สำหรับสารอาหารในข้าวที่รองจากคาร์บอไฮเดรต คือ โปรตีนในปริมาณร้อยละ 5 – 10 ส่วนที่เหลือเป็นไขมัน วิตามิน และเกลือแร่ รวมทั้ง สารประกอบอื่น

รำข้าว

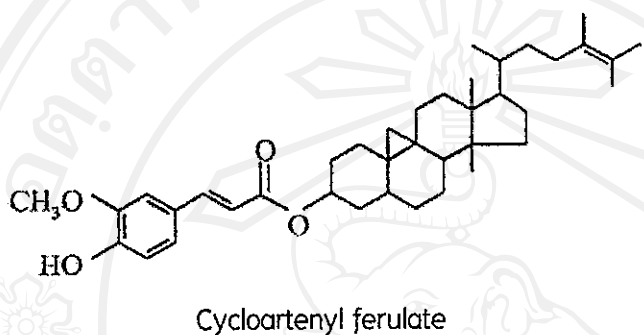
รำข้าวจะเป็นส่วนที่มีสารอาหารมากที่สุด ในส่วนของ caryopsis และอุดมไปด้วยวิตามินและ แร่ธาตุ ซึ่งกระบวนการสีข้าวมีผลต่อองค์ประกอบต่างๆ ในรำข้าว

รำข้าวอุดมไปด้วยสารอาหาร ซึ่งมีองค์ประกอบของโปรตีนร้อยละ 14 – 16 และยังพบมี กรดอะมิโนไลซีน (lysine) ในปริมาณสูง คาร์บอไฮเดรตส่วนใหญ่มาจากเอมิเซลลูลอลร้อยละ 8.7- 11.4 เซลลูลอลร้อยละ 9-12.8 แบ่งและเบต้า-กลูแคน (β -glucan) ร้อยละ 1% และไขมันเชือก ประมาณร้อยละ 3-4 รำข้าวเป็นแหล่งที่พบวิตามินอีสูง คือ ประมาณ 300 มิลลิกรัมต่อกรัม นอกจากนี้ในรำข้าวยังเป็นแหล่งสำคัญของโกลโคไทรีนอล และฟลาโวนอยด์ โพลีฟีนอลและฟลาโวนอยด์ นอกจากนั้นยังพบแร่ธาตุบางชนิด เช่น เหล็ก ออกซิเมเนียม แคลเซียม คลอเริน โซเดียม โปตัสเซียม แมกนีเซียม แมงกานีส ฟอสฟอรัส ซิลิกอน และสังกะสี เป็นต้น อย่างไรก็ตามองค์ประกอบของรำ ชาตุในรำข้าวจะขึ้นกับปริมาณสารอาหารในดินที่พืชเจริญเติบโต ภูมิอากาศและการให้น้ำ สำหรับ ในสารสกัดหางานจากรำข้าว (crude rice bran oil) ประกอบด้วย triacylglycerols ร้อยละ 68-71 diacylglycerols ร้อยละ 2-3 monoacylglycerols ร้อยละ 5-6 free fatty acids ร้อยละ 2-3 glycolipids (ส่วนใหญ่เป็น phosphatidylcholine, phosphatidylethanolamine และ phosphatidylinositol) ร้อยละ 5-7 waxes ร้อยละ 2-3 (McCaskill and Zhang, 1999; Sayre and Saunders, 1990)

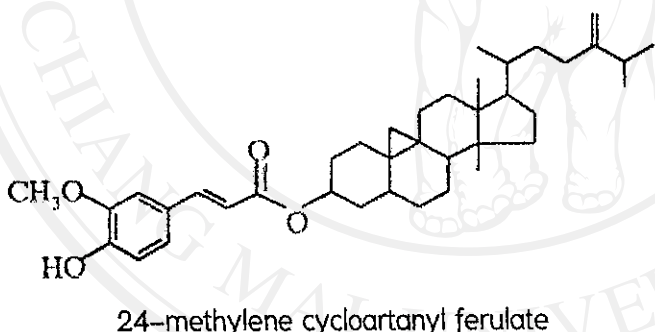
โอไรซานอล (oryzanol)

ในช่วงแรกเชื่อว่าโอไรซานอลเป็นสารเดียว ต่อมาภายหลังจึงสามารถแสดงให้เห็นว่าเป็น สารผสมของกรดフェอรูลิก (ferulic acid) ที่จับอยู่กับสเตอโรล (sterols) หรือไตรเทอเรพีน และกลอไซด์ (triterpene alcohols) ด้วยพันธะเอสเทอร์ ซึ่งมีชื่อเรียกอยู่ทั้งหมด 3 ชนิด คือ แอลฟ่า (α) เบต้า (β) และ แกรมมา-โอไรซานอล (γ -oryzanol) ซึ่งแกรมมา-โอไรซานอลเป็นรูปแบบที่พบ มากที่สุด โดยสเตอโรลที่พบในส่วนประกอบของแกรมมา-โอไรซานอลคือ campesterol และ

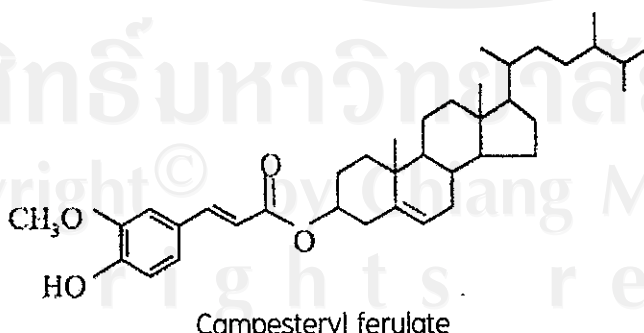
sitosterol และในส่วนของโครงเกอร์พีนแอลกอฮอล์ที่พบคือ cycloartenol และ 24-methylene cycloartanol ดังแสดงในรูปที่ 1 มีนักวิทยาศาสตร์ได้ทำการศึกษาวิจัยพบว่าในน้ำมันรำข้าว (rice bran oil) มีปริมาณแ去买ม่า-โอไรซานอลอยู่ระหว่างร้อยละ 1-3 ชื่นอยู่กับสายพันธุ์ของข้าวและวิธีวิเคราะห์ที่ใช้ (Seetharamaiah และ Prabhakar, 1986) แหล่งธรรมชาติที่พบแคมเม่า-โอไรซานอลคือ รำข้าว แต่สารบางชนิดที่พบในแคมเม่า-โอไรซานอล เช่น sitostanyl ferulate, campestananyl ferulate ยังสามารถพบได้ในข้าวโพดและถั่วพิช (Seitz LM, 1989)



Cycloartenyl ferulate



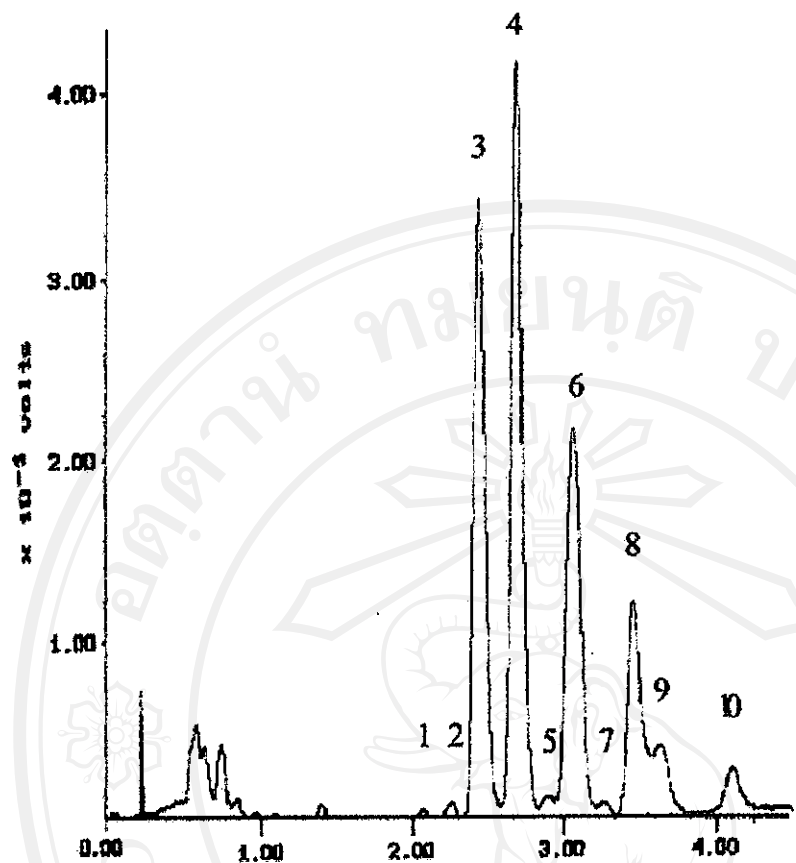
24-methylene cycloartanyl ferulate



Campesteryl ferulate

รูปที่ 1 สารสำคัญหลักที่พบในแคมเม่า-โอไรซานอล

การพัฒนาเทคนิคสำหรับวิเคราะห์ปริมาณแ去买-โอไรซานอลนั้นเริ่มขึ้นโดย Diack และ Saska ในปี ค.ศ.1994 โดยการใช้เทคนิค normal phase high performance liquid chromatography (HPLC) ซึ่งสามารถแยกแ去买-โอไรซานอลได้เป็น 2 ส่วนสักด (fractions) และแต่ละส่วนสักดประกอบด้วยสารสำคัญอย่างน้อย 2 ชนิดหรือมากกว่านั้น การตรวจเอกลักษณ์และวิเคราะห์ปริมาณของสารสำคัญแต่ละชนิดในแ去买-โอไรซานอลนั้นจึงเป็นเรื่องที่ยากอันเนื่องมาจากการแยกสักดสารสำคัญแต่ละชนิดได้ไม่สมบูรณ์ นอกจากนี้ยังมีการใช้เทคนิค reverse-phase HPLC สามารถแยกสารสำคัญได้ 5 ชนิด (Norton RA, 1995) หรือ 6 ชนิด (Evershed et al., 1988; Rogers et al., 1993) จากนั้นในจึงสามารถแยกสารสำคัญของแ去买-โอไรซานอลได้สำเร็จจากน้ำมันรำข้าวโดยใช้เทคนิค preparstive normal-phase HPLC ได้เป็นแ去买-โอไรซานอลเข้มข้น (concentrated γ -oryzanol) จากนั้นจึงทำการแยกและแสดงการรับกวนสารอื่นด้วยเทคนิค reverse-phase HPLC ซึ่งสามารถแยกสารสำคัญได้ถึง 10 ชนิด คือ Δ^7 -stigmastenyl ferulate (1), stigmasteryl ferulate (2), cycloartenyl ferulate (3), 24-methylenecycloartanyl ferulate (4), Δ^7 -campestenyl ferulate (5), campesteryl ferulate (6), Δ^7 -sitotenyl ferulate (7), sitosteryl ferulate (8), campestanyl ferulate (9) และ sitostanyl ferulate (10) (ตั้งแสดงในรูปที่ 2) ซึ่งสารสำคัญหลัก 3 ชนิดที่พบในแ去买-โอไรซานอลคือ cycloartenyl ferulate, 24-methylenecycloartanyl ferulate และ campesteryl ferulate (Zullaikah et al., 2009)



รูปที่ 2 HPLC โปรแกรมของสารสำคัญในแ甘ม่า-โอไรซานอล

การอักเสบ

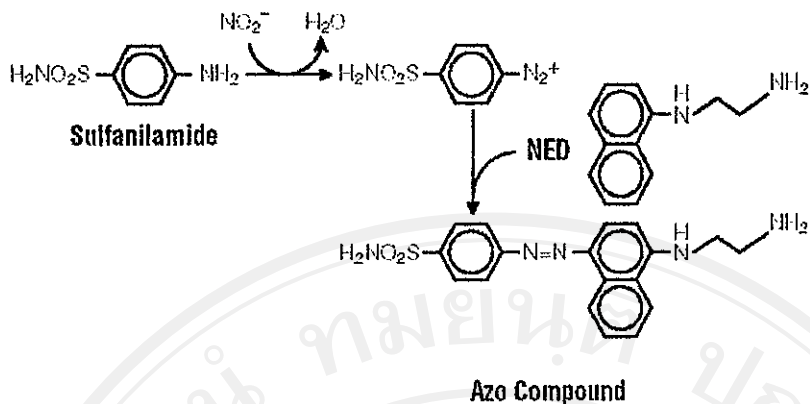
การอักเสบเป็นกระบวนการที่ค่อนข้างซับซ้อนที่เกิดขึ้นเมื่อเซลล์ได้รับอันตราย โดยพบว่า เกิดกระบวนการทั้งใน cellular phase และ fluid phase เป็นผลให้มีการขยายตัวของหลอดเลือดและ ทำให้เกิดการสูญเสียของเหลวจากหลอดเลือดเข้าสู่ช่องว่างระหว่างเซลล์ ทำให้มีอาการบวมเกิดขึ้น เม็ดเลือดขาวจะเคลื่อนตัวออกจากหลอดเลือดไปสู่บริเวณอักเสบและมี phagocytic activity พร้อม ทั้งหลังสารสื่อกลางต่างๆ ที่เป็นอันตรายต่อเนื้อเยื่ออ่อน化และทำให้เกิดการอักเสบเพิ่มมากขึ้น สารสื่อกลางต่างๆ ที่หลังอ่อน化ห่วงการเกิดปฏิกิริยาตอบสนองที่ซับซ้อนนี้ ได้แก่ serotonin หรือ 5-hydroxytryptamine (5-HT), histamine, chemotactic factor ต่างๆ และ leukotrienes สาร สื่อกลางเคมีที่เกี่ยวข้องกับกระบวนการอักเสบเชิงชนิดหนึ่งคือ prostaglandins ซึ่งเป็นผลิตผลของ cyclooxygenase pathway ของ arachidonic acid metabolism มีส่วนเกี่ยวข้องกับการเกิดพยาธิ ลักษณะการอักเสบและการใช้ มีหลักฐานพบว่ามีการหลัง prostaglandins เมื่อได้รับการที่เซลล์ ได้รับอันตรายหรือบาดเจ็บและยังพบสารตังกล่าวในช่องเหลวที่เกิดจากการอักเสบ (inflammatory exudates) ด้วย

ในตระกอออกไซด์เป็นอนุมูลที่ถูกสร้างขึ้นในร่างกายจาก L-arginine โดยเอนไซม์ในตระกอออกไซด์ซินเทส (nitric oxide synthase, NOS) ในตระกอออกไซด์เป็นอนุมูลอิสระที่สามารถละลายได้ สร้างขึ้นโดย activated macrophage และ endothelial cell ของทุกที่สัมผัสและเฉพาะที่ มีฤทธิ์สำคัญในการส่งเสริมการอักเสบ ได้แก่ ทำให้หลอดเลือดขยายตัว เป็นต้น มีรายงานการวิจัยพบว่ามีการหลัง ในตระกอออกไซด์จาก macrophage เมื่อมีการตอบสนองต่อกระบวนการอักเสบ ทั้งยังพบว่าในตระกอออกไซด์สามารถกระตุ้นเอนไซม์ COX-2 ซึ่งเป็นเอนไซม์ที่ผลิต prostaglandins ซึ่งเป็นสารสื่อกลางที่สำคัญในกระบวนการอักเสบและยังพบว่าสามารถกระตุ้นการผลิต interleukin-1 (IL-1) และ tumor necrosis factor (TNF) ซึ่งเป็น cytokines ที่มีบทบาทสำคัญในการอักเสบ ในตระกอออกไซด์ยังสามารถสร้างความเสียหายต่อตีอีนเอนไซด์ในภาวะที่มีออกซิเจนโดยทำปฏิกิริยากับออกซิเจนเกิดเป็น N_2O_3 และเข้าทำลายตีอีนโดยการเกิดปฏิกิริยา deamination ส่วนอนุมูลอิสระชูปเปอร์ออกไซด์ (superoxide anion, O_2^-) เกิดจากการเติมอิเลคตรอนให้แก่ออกซิเจน โดยพบว่าอนุมูลอิสระชูปเปอร์ออกไซด์และชูปเปอร์ออกไซด์เกิดขึ้นในร่างกายจากการชนสังกัดอิเลคตรอนในไมโทคอนเดรียและเกิดจากปฏิกิริยาการทำงานของเอนไซม์บางชนิดในตับจากกระบวนการกำจัดสารแปรกปลอม หากกระบวนการต่อต้านอนุมูลอิสระของร่างกาย (antioxidant defense system) ไม่สามารถจัดต้านอนุมูลอิสระในตระกอออกไซด์และชูปเปอร์ออกไซด์ที่มีมากเกินไปได้ จะทำให้อนุมูลอิสระในตระกอออกไซด์ทำปฏิกิริยากับอนุมูลอิสระชูปเปอร์ออกไซด์เกิดเป็นอนุมูลอิสระเปอร์ออกซิเดตเป็นอนุมูลอิสระในตระกอออกไซด์และชูปเปอร์ออกไซด์ เป็นอนุมูลอิสระที่มีความแรงมากกว่าอนุมูลอิสระในตระกอออกไซด์และชูปเปอร์ออกไซด์

เมื่อระบบภูมิคุ้มกันของร่างกายตอบสนองต่อกระบวนการอักเสบ จะทำให้เกิดการหนีบวน้ำเหลืองที่เกี่ยวข้องกับการอักเสบ ได้แก่ แมคโครฟลาจ, ชีโอดิโนฟิล และนิวโทรฟิล เป็นต้น ให้เคลื่อนที่มาจยับบริเวณที่เกิดการอักเสบ ในขณะเดียวกันเซลล์เหล่านี้จะกระตุ้นให้ผลิตอนุมูลอิสระจำนวนมาก ได้แก่ อนุมูลอิสระไครอฟลาจ ชูปเปอร์ออกไซด์ ในตระกอออกไซด์และเปอร์ออกซีไนโตรทีเรต เป็นต้น ซึ่งอนุมูลอิสระเหล่านี้ไม่เพียงแต่ทำลายเซลล์ที่เกิดการอักเสบเท่านั้น ยังสามารถเปลี่ยนแปลงสารชีวโมเลกุลทุกๆ ชนิด ได้แก่ ดีอีนเอนไซด์ โปรตีนและไขมันของเซลล์ร่างกายด้วยเช่นกัน การทำให้ดีอีนเอนไซด์เสียหายด้วยปฏิกิริยาต่างๆ เช่น deamination, alkylation, oxidation และ nitration หรือทำลายโครงสร้างของดีอีนเอนไซด์ (DNA strand break) สามารถนำไปสู่สาเหตุของการเกิดมะเร็งได้มีการศึกษาพบว่าอนุมูลอิสระเปอร์ออกซิเดตเป็นไตรด์สามารถทำลายดีอีนเอนไซด์ได้มากกว่าในตระกอออกไซด์ ในความเข้มข้นที่เท่ากัน โดยพบว่าในตระกอออกไซด์สามารถเข้าทำปฏิกิริยากับ adenine, guanine และ cytosine ส่วนเปอร์ออกซิเดตเป็นไตรด์สามารถเข้ากับปฏิกิริยากับ guanine เพียงอย่างเดียว โดยทำปฏิกิริยาแบบ oxidation และ nitration ได้ผลิตภัณฑ์เป็น 8-oxodGua และ 8-nitroGua และยังสามารถทำปฏิกิริยาโดยตรงกับส่วนที่เป็นน้ำตาลของดีอีนเอนไซด์ทำให้เกิด strand break ได้ (Burney et al., 1999 and Murphy, 1999)

ในภาวะปกติไม่ตริกอออกไซด์ทำหน้าที่เป็นทั้งสารสื่อสาร (physiological messenger) และ effector molecule ในหลายๆ ระบบที่สำคัญของร่างกาย เช่น ระบบภูมิคุ้มกัน ระบบประสาท และระบบหัวใจร่วมหลอดเลือด นอกจากระบบนี้ยังพบว่าในบางสถานะหรือเมื่อมีพยาธิสภาพเกิดขึ้น ร่างกายจะสร้างไนตริกอออกไซด์ในปริมาณที่มากกว่าปกติ เพื่อตอบสนองต่อสารกระตุ้นอักเสบ หรือสารอินฟลามเมเต้เจน (inflammatory or mitogenic stimuli) ที่ได้รับ ดังนั้นการตรวจพบปริมาณไนตริกอออกไซด์ที่มากผิดปกติในร่างกาย ไม่ว่าจะที่บริเวณเนื้อเยื่อต่างๆ ปัสสาวะหรือในสารน้ำ/เลือด อาจบ่งบอกถึงการเกิดภาวะอักเสบหรือพยาธิสภาพในร่างกายได้ (Cuzzocrea *et al.*, 2001) อย่างไรก็ตามการตรวจหาปริมาณไนตริกอออกไซด์โดยตรงทำได้ค่อนข้างยาก เนื่องจากไนตริกอออกไซด์เป็นสารที่ก่อให้เกิดปฏิกิริยาเคมีและมีค่าครึ่งชีวิตสั้นมาก (half-life, $t_{1/2}$ ~ 4 วินาที) ในไนตริกอออกไซด์ที่เกิดขึ้นในร่างกายจะถูกออกซิเดช้อยอย่างรวดเร็วเกิดเป็นสารประกอบที่เสื่อมมากขึ้น คือ ไนโตร๒ (nitrite, NO_2^-) และ ไนโตร๓ (nitrate, NO_3^-) การศึกษาส่วนใหญ่พยายามใช้การหาปริมาณไนโตร๒แทนการวัดระดับไนตริกอออกไซด์โดยตรง เพราะสามารถทำได้ง่ายกว่าและที่น่าสนใจ คือ ในปัจจุบันการตรวจหาปริมาณไนโตร๒ที่ถูกสร้างขึ้นยังสามารถใช้เป็นดัชนีชี้วัดความสามารถในการต้านภาวะเครียดจากอนุมูลอิสระในไตรเจนและภาวะการอักเสบของสารเคมีต่างๆ โดยเฉพาะอย่างยิ่งสารจากธรรมชาติได้

ปฏิกิริยาตรวจหาไนโตร๒ถูกคิดค้นโดยนักวิทยาศาสตร์ชาวเยอรมันชื่อ Griess ในปี ค.ศ. 1879 วิธีการนี้อาศัยปฏิกิริยาระหว่างไนโตร๒ sulfanilamide และ N-1-naphthylethylenediamine dihydrochloride ภายใต้สภาวะกรดฟอฟอริก (phosphoric acid) ในสภาวะดังกล่าวจะเกิดสารประกอบสีม่วงซึ่งสามารถวัดการเปลี่ยนแปลงค่าการดูดกลืนแสงที่ความยาวคลื่น 540 นาโนเมตรได้ด้วยเครื่อง spectrophotometer หรือ microplate reader จากนั้นจะทำการเปรียบเทียบค่าที่วัดได้กับค่าอัตราการดูดกลืนแสงของสารละลายน้ำตราชูน sodium nitrite ปฏิกิริยาเคมีที่เกิดขึ้นแบ่งเป็นสองขั้นตอน คือ 1) ปฏิกิริยาระหว่างไนโตร๒และ sulfanilic acid ได้สาร intermediate diazonium salt และ 2) ปฏิกิริยาระหว่าง diazonium salt และ NED เกิดเป็นสารประกอบ azo derivative ที่มีสีม่วง ดังแสดงในรูปที่ 3



รูปที่ 3 ปฏิกิริยาของ Griess reagent system

ข้าวเป็นพืชเศรษฐกิจและเป็นอาหารหลักของคนไทย ในอดีตคนไทยนิยมบริโภคข้าวที่ผ่านการสีด้วยวิธีโบราณ เช่น การต้มด้วยครกไม้ ใช้ครกกระเดื่อง ทำให้ได้ข้าวสารลีตามธรรมชาติ มีจมูกข้าวที่ให้ฐานอาหารและช่วยป้องกันรักษาโรคบางชนิด ปัจจุบันข้าวสารที่รับประทานจะได้จากสารสีของโรงสีข้าวขนาดใหญ่ ซึ่งสีข้าวได้รวดเร็วและปริมาณมาก ข้าวสารที่ได้เป็นข้าวขาว แต่ในทางตรงกันข้าม สิ่งที่มีประโยชน์ต่อร่างกายได้หายไป สิ่งที่มีประโยชน์ต่อร่างกายได้หายไปกับเปลือกข้าวและ胚芽 โดยเฉพาะโอไรซานอลซึ่งเป็นสารที่มีคุณประโยชน์มากมาย เช่น ลดความเสี่ยงของโรคหัวใจและหลอดเลือด ลดความเสี่ยงของการเกิดมะเร็ง ยับยั้งการเกิด platelet aggregation ลดโคเลสเตอรอลและต้านออกซิเดชัน เป็นต้น โดยเฉพาะแกรมม่า-โอไรซานอล (γ -oryzanol) ซึ่งเป็นรูปแบบที่มีฤทธิ์ได้ดีที่สุด มีการประเมินประสิทธิภาพของรำข้าวในการป้องกันมะเร็งลำไส้ในหนูทดลอง พบว่าหนูทดลองที่กินรำข้าวสามารถลดจำนวน intestinal adenoma ได้ถึง 51% เมื่อเปรียบเทียบกับหนูทดลองในกลุ่มที่ได้รับอาหารปกติ การศึกษาที่ต้านออกซิเดชันและฤทธิ์ต้านการอكسิเดชันของสารสกัดแกรมม่า-โอไรซานอลโดยส่วนใหญ่แล้วมีข้อมูลการการศึกษาในทดลองหดทดลอง (*in vitro* study) โดยการวิเคราะห์ทางเคมี เนื่องจากการตรวจวิเคราะห์ทางเคมีมีข้อด้อย บางประการ บางครั้งสารที่สนใจนั้นแม้ฤทธิ์ทางเคมีในหดทดลอง แต่มีสิ่งที่ไม่ได้ประเมินด้วย เช่น สารนั้นจะสามารถผ่านเข้าไปในเซลล์หรือไม่ สารนั้นจะเป็นพิษกับเซลล์หรือไม่ เป็นต้น ดังนั้น การประเมินทางเคมีอย่างเดียวจึงไม่อาจบอกความสามารถที่แท้จริงของสารทดสอบ การทดสอบโดยอาศัยเซลล์เพาะเลี้ยงในการตอบสนองเชิงสารภาพให้ข้อมูลเพิ่มเติมบางอย่างจากการวิเคราะห์ทางเคมี จากการที่เซลล์ monocytes และ macrophages เป็นเซลล์ที่มีความสามารถในการตอบสนองต่อสิ่งเร้า เช่น endotoxin, (lipopolysaccharide: LPS), inflammatory cytokines, ultraviolet, arsenite และอื่นๆ ทำให้มีการสร้างโปรตีโนไซด์ออกไซด์ออกไซด์จำนวนมาก นำไปตรึงออกไซด์ที่ปัลป์อย่างจำนวนมากนี้เป็นตัวกลางของการก่อพยาธิสภาพต่างๆ ดังนั้นทางคณะผู้วิจัยจึงสนใจที่จะประเมินฤทธิ์ต้านการอكسิเดชันของสารสกัดแกรมม่า-โอไรซานอลจากการรำข้าวก้าวใหญ่โดยศึกษาผ่านกลไกยับยั้ง

การสร้างไนตริกออกไซด์ในเซลล์เพาะเลี้ยง โดยในการศึกษาจัยครั้งนี้จะใช้เซลล์ macrophage เป็นแบบทดสอบโดยการตุ้นด้วย LPS เพื่อจำลองการกระตุ้นในภาวะอักเสบ จากนั้นทำการวัดปริมาณไนตริกออกไซด์ที่ปลดปล่อยออกมาน โดยวัดในรูปของไนโตรฟ์ สารทดสอบที่สามารถยับยั้งการสร้างไนตริกออกไซด์ได้จะสามารถจัดว่าเป็นสารที่มีฤทธิ์ต้านอนุมูลอิสระและมีความล้มพันธ์กับภาวะอักเสบ

การศึกษาฤทธิ์ต้านการอักเสบมีการศึกษาได้จากหลายกลไก อันเนื่องมาจากกระบวนการข้ามเส้นเกิดขึ้นผ่านหล่ายกลไก เช่น การศึกษาผ่านกลไกการยับยั้งเอนไซม์ COX-2 และการศึกษาผ่านกลไกการยับยั้งเอนไซม์ lipoxygenase (LOX) โดยกลไกหนึ่งที่มีความสัมพันธ์กับทั้งฤทธิ์ต้านอนุมูลอิสระและฤทธิ์ต้านการอักเสบ คือ การจัดและยับยั้งการสร้างไนตริกออกไซด์ ซึ่งได้มีการพัฒนาเครื่องวัดมาตั้งแต่ ค.ศ.1879 โดยการใช้ Griess reagent ซึ่งมี sulphuramamide และ naphtylethylenediamine dihydrochloride เป็นองค์ประกอบ โดยทำการตรวจวัดที่ความยาวคลื่น 546 นาโนเมตร

Sreejayan และ Rao (1997) ได้ทำการศึกษาฤทธิ์ขัดอนุมูลอิสระในไนตริกออกไซด์ของเคอร์คูมินอยส์ในหลอดทดลอง โดยใช้ sodium nitroprusside (SNP) เป็นตัวสร้างไนตริกออกไซด์ โดยพบว่าเคอร์คูมินมีฤทธิ์ขัดอนุมูลอิสระในไนตริกออกไซด์ที่ดีกว่าในหลากหลายวิธี รายงานวิจัยเกี่ยวกับฤทธิ์ยับยั้งการอักเสบและมีฤทธิ์ต้านมะเร็งมาแล้ว

Nakagawa และ Yokozawa (2002) ได้ศึกษาฤทธิ์ขัดอนุมูลอิสระในไนตริกออกไซด์และชุปเปอร์ออกไซด์ในหลอดทดลอง (*in vitro* study) ของชาเขียว พบร้าสารสกัดจากชาเขียวมีฤทธิ์ขัดอนุมูลอิสระในไนตริกออกไซด์และชุปเปอร์ออกไซด์ที่สูง นอกจากนั้นยังได้ศึกษาฤทธิ์ดังกล่าวของสารบริสุทธิ์ที่ได้จากการแยกบริสุทธิ์สารสกัดชาเขียวจำนวน 7 ชนิด พบร้า (-)-epigallocatechin 3-O-gallate (EGCG), (-)-gallocatechin 3-O-gallate (GCG) และ (-)-epicatechin 3-O-gallate (ECG) มีฤทธิ์ที่ตีกกว่า (-)-epigallocatechin (EGC), (+)-gallocatechin (GC), (-)-epicatechin (EC) และ (+)-catechin (C) ซึ่งฤทธิ์ดังกล่าวนานาจังหวะมีความล้มพันธ์กับโครงสร้างของ flavan-3-ol ที่จับอยู่กับ gallic acid

Yen และ Lai (2003) ได้ทำการศึกษาผลการยับยั้ง reactive nitrogen species (RNS) ของ isoflavones และอาหารที่มีถั่วเหลืองเป็นส่วนประกอบ พบร้า isoflavone สามารถยับยั้งเอนไซด์ในไนตริกออกไซด์ชินเทส หั้งยั้งพบว่า isoflavone และสารสกัดจากอาหารที่มีถั่วเหลืองเป็นองค์ประกอบสามารถสามารถป้องกันการทำลายดีเอ็นเอจากอนุมูลอิสระเปอร์ออกซีนไนโตรฟ์และไนตริกออกไซด์ได้ และยังสามารถยับยั้งการสร้างไนตริกออกไซด์จากเซลล์เพาะเลี้ยง RAW 264.7 ที่ถูกกระตุ้นด้วย

lipopolysaccharide ซึ่กตัวอย่างโดยแสดงให้เห็นว่าฤทธิ์ยับยั้ง reactive nitrogen species (RNS) ของสารสกัดจากอาหารที่มีถั่วเหลืองเป็นองค์ประกอบนั้นมีความสัมพันธ์กับปริมาณ isoflavone

Hu และคณะ (2003) ได้ทำการศึกษาส่วนสกัดที่มีสีจากข้าวดำเนินการยับยั้ง reactive oxygen species (ROS) และ reactive nitrogen species (RNS) โดยพบว่าส่วนสกัดที่มีสีของข้าวดำเนินนั้นมีแอนโธไซยาโนน (anthocyanin) เป็นองค์ประกอบคือ cyanidin 3-glucoside และ peonidin 3-glucoside ส่วนสกัดที่มีสีของข้าวดำเนินยังแสดงฤทธิ์ป้องกันการทำลายดีเอ็นเอจากอนุมูลอิสระเปอร์ออกซิเดชันและไฮดรอกซิล ทั้งยังป้องกันการเกิดออกซิเดชันของ low-density lipoprotein (LDL) ซึ่กตัวอย่างสามารถยับยั้งการแสดงออกของเอนไซด์ในตระกูลออกไซด์ชีนเทสในเซลล์เพาะเลี้ยง RAW 264.7 โดยไม่แสดงความเป็นพิษต่อเซลล์ ซึ่งแสดงให้เห็นถึงคุณสมบัติต้านออกซิเดชันและต้านการอักเสบของข้าวดำเนินน้ำที่มีแอนโธไซยาโนนเป็นองค์ประกอบ

Zullaikah และคณะ (2009) ได้ทำการแยกโอลิริซานอลจาก crude rice bran oil โดยการใช้เทคนิค crystallization 2 ขั้นตอน โดยในขั้นตอนแรกของการ crystallization โอลิริซานอลจะถูกทำให้เข้มข้นในชั้นของแหล่งรักษากรดไขมัน (fatty acid), monoacylglycerol, squalene, tocols และ phytosterol ในขณะที่ในชั้นของแข็งส่วนใหญ่จะประกอบด้วย triacylglycerol และ steryl ester จากนั้นจึงนำส่วนสกัดโอลิริซานอลเข้มข้นมาทำ crystallization อีกครั้งหนึ่ง โดยการเติมเยกเซนแล้วเก็บที่อุณหภูมิ 5 ± 1 องศาเซลเซียส เป็นเวลานาน 48 ชั่วโมง จากนั้นจะได้ผลลัพธ์โอลิริซานอลที่มีความบริสุทธิ์อยู่ที่ 93–95 และมี %recovery อยู่ที่ร้อยละ 59

Butsat and Siriamornpun (2009) ได้ศึกษาฤทธิ์ต้านออกซิเดชันและวิเคราะห์ปริมาณสารกลุ่มฟีนอลลิกในรำข้าว กข 105 จำนวน 3 ตัวอย่างจากทุกกลุ่มให้ โดยทำการศึกษาฤทธิ์ต้านออกซิเดชันด้วยวิธีการจัดอนุมูลอิสระ DPPH (2,2-diphenyl-1-picrylhydrazyl (DPPH) radical scavenging) และ ferric reducing ability power (FRAP) พบว่าส่วนสกัดจากรำข้าวแสดงฤทธิ์ต้านออกซิเดชันที่ดี และยังพบว่าในรำข้าวมีปริมาณแคมมา-โอลิริซานอลและวิตามินอีสูง

Lai และคณะ (2009) ได้ทำการแยกสารสำคัญและศึกษาฤทธิ์ต้านออกซิเดชันของรำข้าวญี่ปุ่น (Japonica rice bran) โดยพบว่าสารสกัด hexane, methanol และ ethyl acetate มีปริมาณสารกลุ่มฟีนอลลิก โอลิริซานอลและอนุพันธ์ของวิตามินอีสูง และพบว่าสารสกัด methanol แสดงฤทธิ์ยับยั้งการเกิด lipid peroxidation, ฤทธิ์จัดอนุมูลอิสระ DPPH และ FRAP สูงกว่าสารสกัด hexane และ ethyl acetate

Boonsit และคณะ (2010) ได้วิเคราะห์ปริมาณแคมมา-โอลิริซานอลจากข้าวเหนียวกำลังเจ้า สารสกัดแคมมา-โอลิริซานอลกึ่งบริสุทธิ์ (semi-purified γ -oryzanol) ของข้าวเหนียวกำลังเจ้ามีปริมาณ

แกรมม่า-โอิรีชานอลสูงกว่าข้าวขาวอย่างมีนัยสำคัญ โดยพบว่าข้าวกำลังด้อยลงและข้าวกำลังด้อยลงเช่นกัน (72.95 และ 70.16 มิลลิกรัมต่อข้าว粒 100 กรัมตามลำดับ)

จากข้อมูลรายงานการวิจัยเบื้องต้นพบว่าสารสกัดจากข้าวและรำข้าวของไทย นั้นส่วนใหญ่จะมีการศึกษาวิจัยเฉพาะในหลอดทดลอง (*in vitro study*) โดยส่วนใหญ่เป็นการศึกษาฤทธิ์ต้านออกซิเดชันและยังพบว่าข้อมูลการวิจัยที่พับนั้นเป็นข้าวขาว สำหรับข้าวกำลังรำข้าวกำลังสายพันธุ์พื้นเมืองยังขาดข้อมูลการศึกษาวิจัย ดังนั้นคณาจารย์จึงสนใจที่จะศึกษาตัวอย่างภาพของแกรมม่า-โอิรีชานอลในรำข้าวกำลังสายพันธุ์พื้นเมือง โดยเริ่มจากการศึกษาฤทธิ์ต้านการอักเสบผ่านการยับยั้งการสร้างไนตริกออกไซด์ในเซลล์เพาะเลี้ยงเพื่อใช้เป็นข้อมูลพื้นฐานในการศึกษาในระดับสูงต่อไป

บทที่ 3

การทดสอบ

1. สารเคมี

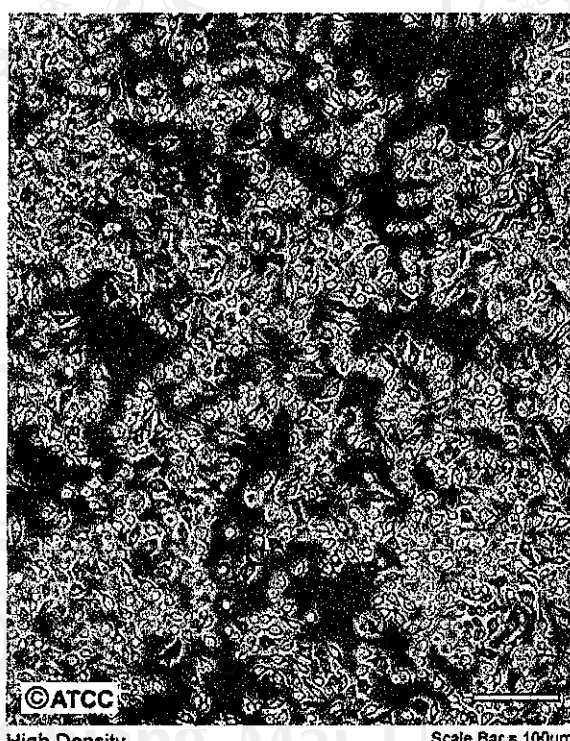
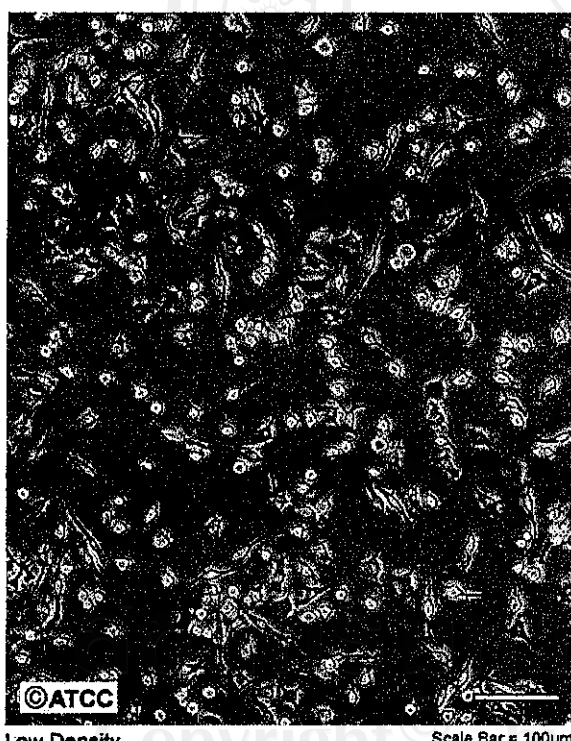
1. Absolute ethanol
2. Hexane
3. Ethyl acetate
4. Dimethyl sulfoxide (DMSO)
5. Acetonitrile (HPLC grade)
6. Methanol (HPLC grade)
7. Dichloromethane (HPLC grade)
8. Dulbecco's Modified Eagle Medium (DMEM)
9. Fetal Bovine Serum (FBS)
10. Penicillin/Streptomycin
11. Ethylene diamine tetraacetic acid (EDTA)
12. 0.05% Trypsin EDTA
13. Phosphate buffer saline (PBS) without Ca and Mg
14. Phosphate buffer saline (PBS) with Ca and Mg
15. น้ำปราศจากไอโอดีน (Deionized water)
16. Potassium nitrite
17. Sulfanilamide
18. Lipopolysaccharides (LPS) from *E.coli* 0128:B12
19. Murine Inferferon -gamma (IFN-γ)
20. Cell proliferation reagent WST-1
21. Gamma-oryzanol (HPLC grade)
22. Silica gel GF254
23. naphthylethylenediamine dihydrochloride
24. Phosphoric acid

2. เชลล์มะเร็ง

Mouse macrophage cell line RAW 264.7 แสดงข้อมูลพื้นฐานของเชลล์มะเร็งจากสถาบัน American Type Culture Collection (ATCC)

| | |
|-------------------|---|
| ATCC® Number | TIB-71™ |
| สถาบัน | ATCC |
| Cell type | Macrophage, Abelson murine leukemia virus transformed |
| Disease | Abelson murine leukemia virus-induced tumor |
| Growth properties | adherent |
| Organism | <i>Mus musculus</i> (mouse) |
| Incubation | 37 °C with 5% CO ₂ |

ATCC Number: TIB-71
Designation: RAW-264.7



รูปที่ 1 เชลล์มะเร็งแมคโครฟลาจหนู (Mouse macrophage cell line RAW264.7)

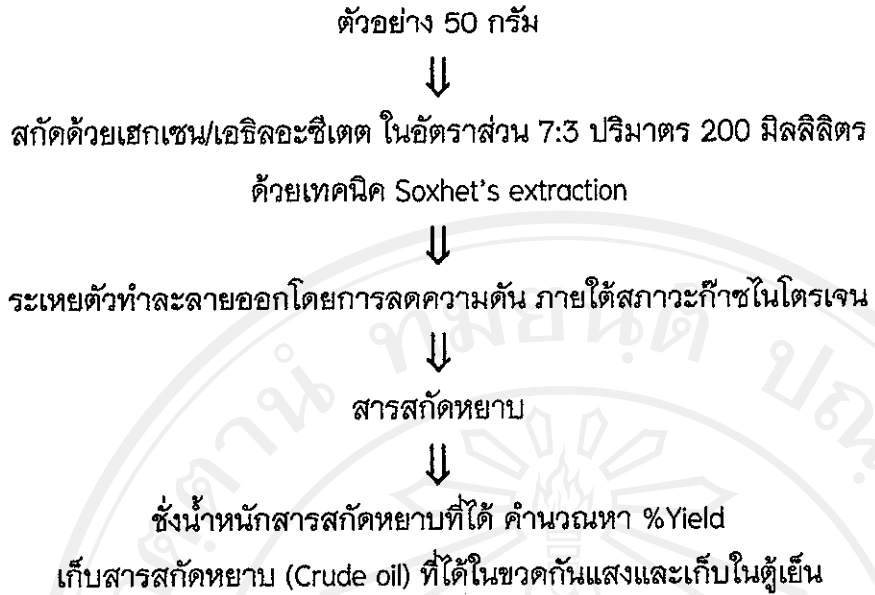
3. อุปกรณ์

1. เครื่องระเหยภายในตัวการลดความดัน (rotary evaporator)
2. กล้องจุลทรรศน์นิ่งหัวกลับ (inverted microscope)
3. ตู้บ่มชนิดมีก๊าซคาร์บอนไดออกไซด์ (CO_2 Incubator)
4. ตู้ปลดเชื้อ (laminar air flow hood)
5. หม้อนึ่งความดันสำหรับฝ่าเชื้อ (autoclave)
6. เครื่องวัดค่าความเป็นกรด-ด่าง (pH meter)
7. เครื่องชั่งวิเคราะห์ (analytical balance)
8. เครื่องปั่นเรียงความเร็วrobสูง (centrifuge)
9. ตู้แช่แข็ง (freezer) -80 องศาเซลเซียส
10. ภาชนะสำหรับเลี้ยงเซลล์มะเร็ง
11. Microplate reader (96-well plates reader UV-Visible spectrophotometer)
12. High Performance Liquid Chromatography (HPLC)
13. Soxhlet's apparatus
14. Separation funnel
15. Vertical shaker
16. Multichannel pipette
17. 96-wells plate
18. Disposable seropipette
19. Pipette aid
20. Water bath
21. Liquid nitrogen tank
22. Column chromatography

4. วิธีทดลอง

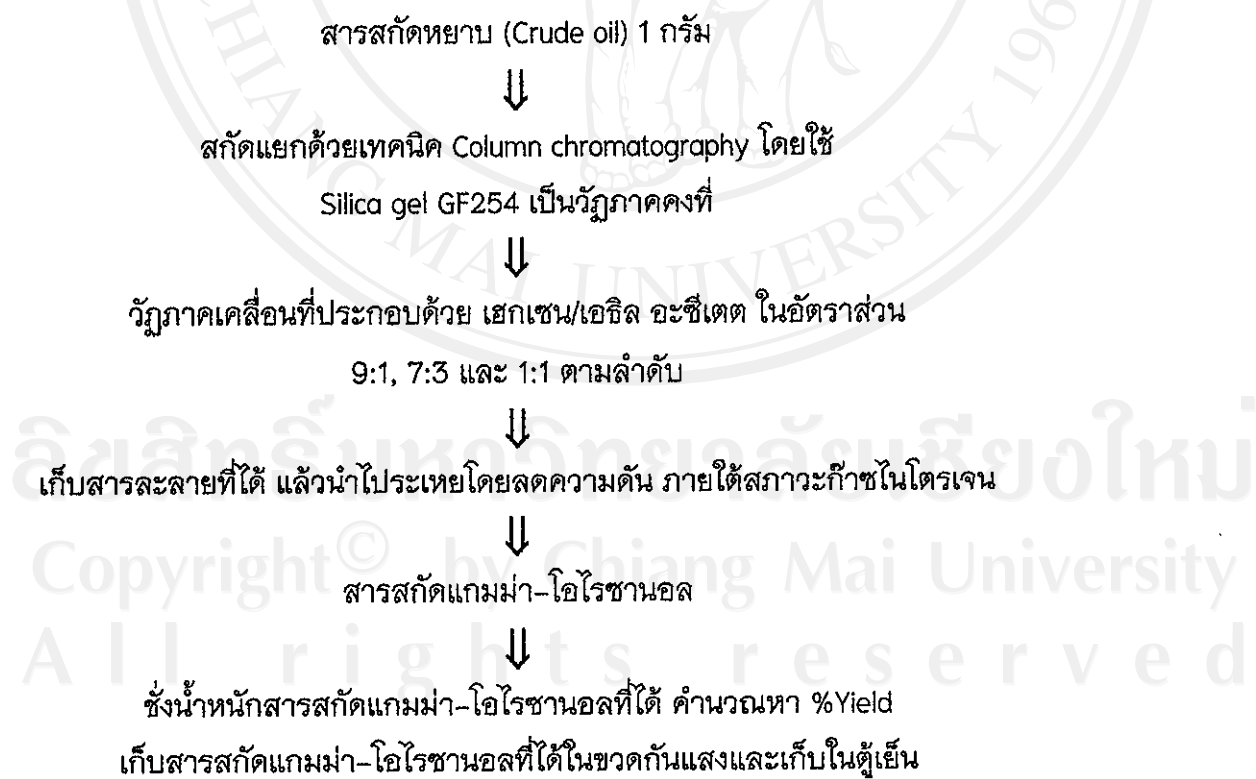
4.1 การสกัดสารสกัดพวย (Crude oil) จากรากข้าว

ข้าวกำลังพันธุ์พื้นเมืองจำนวน 3 ตัวอย่าง ประกอบด้วยข้าวกำลังเดียวโภ (BR-1) ข้าวกำลังบึง (BR-2) ข้าวกำลังต่อ (BR-3) เก็บตัวอย่างในเขตพื้นที่จังหวัดตากและข้าวแดงอีกจำนวน 3 ตัวอย่าง ประกอบด้วยข้าวแดงขอทอง (BR-4) ข้าวแดงดอยหล่อ (BR-5) และข้าวแดงอมก๋อย (BR-6) เก็บตัวอย่างในเขตพื้นที่จังหวัดเชียงใหม่ จากนั้นนำตัวอย่างมาผ่านกระบวนการสีข้าวเพื่อแยกเก็บตัวอย่าง รากข้าว รากข้าวจะถูกเก็บที่อุณหภูมิ -20 องศาเซลเซียส ก่อนนำมาสกัด Crude oil



4.2 การเตรียมสารสกัดแกรมม่า-โอลิโกรานอล

สารสกัดแกรมม่า-โอลิโกรานอลเตรียมโดยการนำสารสกัดหยาบ (Crude oil) มาแยกส่วนโดยใช้เทคนิค Column chromatography ดังนี้



4.3 การวิเคราะห์ปริมาณแกรมม่า-โอิรีชานอล

หลังจากได้สารสกัดแกรมม่า-โอิรีชานอลแล้ว นำมาวิเคราะห์ด้วยเทคนิคクロมาโทกราฟพี ของเหลวสมรรถนะสูง (High Performance Liquid Chromatography, HPLC) โดยคัดแปลงวิธีของ Zullaikah และคณะ (2009) วัสดุภาคเคลื่อนที่ประกอบด้วยเมทานอล อัเซทิกรินไตรส์ ไดคลอโร มีเรนและกรดอะซีติก และใช้ UV detector ที่ความยาวคลื่น 330 นาโนเมตร หลังจากทราบปริมาณ แกรมม่า-โอิรีชานอลในสารสกัดแกรมม่า-โอิรีชานอล จึงทำ Standardization สารสกัดแกรมม่า-โอิรีชานอล จากนั้นคัดเลือกสารสกัดแกรมม่า-โอิรีชานอลที่มีปริมาณแกรมม่า-โอิรีชานอลมากกว่า ร้อยละ 5 (สารสกัด) มาศึกษาถึงขั้นตอนการอักเสบผ่านกลไกการยับยั้งการสร้างเนตริกออกไซด์ จากเซลล์ mouse macrophage RAW 264.7 ต่อไป

4.4 การเตรียมเซลล์มะเร็งสำหรับการทดลอง

4.4.1 การเลี้ยงเซลล์

ทำการเลี้ยงเซลล์ Mouse macrophage RAW 264.7 (ATCC TIB-71™) ในภาชนะพลาสติก สำหรับเลี้ยงเซลล์ (tissue culture flask) ขนาด 75 ลูกบาศก์เซนติเมตร ในอาหารเลี้ยงเซลล์ Complete D-MEM และนำภาชนะพลาสติกสำหรับเลี้ยงเซลล์ไปปั่นในตู้อบชนิดมีกี๊ซ คาร์บอนไดออกไซด์ ภายใต้อุณหภูมิ 37 องศาเซลเซียส ความชื้น 95% ในบรรยายกาศที่มี 5% คาร์บอนไดออกไซด์ เซลล์จะเรียงตัวเป็น monolayer ทำการแบ่งเซลล์ (subculture) เมื่อตูผ่านกัลลง จุลทรรศน์ชนิดหัวกลับแล้วพบว่าเซลล์มีการเจริญและแบ่งตัวในภาชนะพลาสติกสำหรับเลี้ยงเซลล์ แล้ว 60-80%

4.4.2 การกระตุ้นการสร้างเนตริกออกไซด์

ในการกระตุ้นการสร้างเนตริกออกไซด์จะใช้ Lipopolysaccharide (LPS) และ Interferon-γ (IFN-γ) เป็นตัวกระตุ้น ดังนี้

ทำการเพาะเลี้ยงเซลล์ RAW 264.7 จำนวน 10,000 cells/well

ใน 96-wells plate เป็นเวลา 24 ชั่วโมง



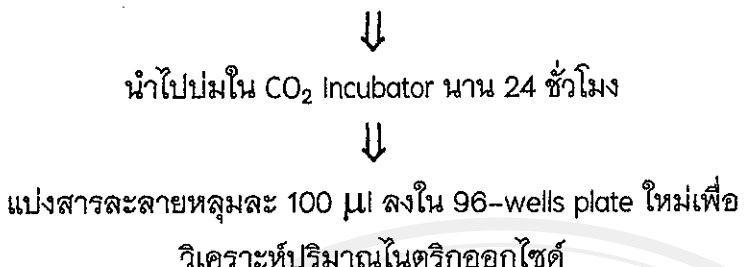
ทำการเปลี่ยนอาหารเลี้ยงเซลล์ เติมอาหารเลี้ยงเซลล์ใหม่ที่มีสารสกัดแกรมม่า-โอิรีชานอล

ที่ความเข้มข้นต่างๆ จากนั้นปั่นใน CO₂ Incubator นาน 1 ชั่วโมง



เติมสารละลาย LPS และ IFN-γ หลุ่มละ 10 μl

หลุ่มที่ไม่ได้เติมกำหนดให้เป็นชุดควบคุม



4.4.3 การวิเคราะห์ปริมาณไนตริกออกไซด์

อนุมูลย์สารไนตริกออกไซด์ที่สร้างมาจากการเซลล์ RAW 264.7 นั้น จะทำปฏิกิริยา กับ ออกซิเจนเกิดเป็นไนโตรที่ละลายอยู่ในอาหารเลี้ยงเซลล์ ซึ่งสามารถตรวจวิเคราะห์ได้ด้วย Griess reagent ที่ประกอบด้วย Sulfanilamide และ naphthylethylenediamine dihydrochloride ในอัตราส่วน 1:1

ผสมสารละลายน้ำ Sulfanilamide และ naphthylethylenediamine dihydrochloride
ในอัตราส่วน 1:1 (Griess reagent)

↓

เติม Griess reagent ลงหลุมละ 100 μl ใน 96-wells plate
รวมทั้งหลุมที่เติม KNO₂ ซึ่งเป็นหลุมสำหรับสร้างกราฟมาตรฐาน

↓

วัดค่าการดูดกลืนแสงที่ความยาวคลื่น 540 นาโนเมตร

↓

สร้างกราฟมาตรฐาน %Inhibition และคำนวนหาค่า
50% inhibition concentration

4.4.4 การทดสอบความเป็นพิษต่อเซลล์มะเร็ง

การทดสอบความเป็นพิษต่อเซลล์ RAW 264.7 มีวัตถุประสงค์เพื่อทดสอบในช่วงความเข้มข้นของสารสกัดแกรมมา-โคโรชานอลที่ใช้ทดสอบฤทธิ์ต้านการอักเสบโดยการยับยั้งการสร้างใน ตระกูลออกไซด์ไม่มีความเป็นพิษต่อเซลล์ RAW 264.7 โดยใช้ Cell proliferation reagent (WST-1) เป็นสารที่ใช้วิเคราะห์เซลล์ที่มีชีวิต ซึ่งมีกลไกการเกิดปฏิกิริยาเช่นเดียวกับ MTT แต่ไม่จำเป็นต้องอาศัย ตัวทำละลายผลึก formazan เพื่อกันการใช้ MTT ทั้งยังเกิดปฏิกิริยาได้เร็วกว่า MTT และสีที่เกิดขึ้นยังมีความคงตัวนานกว่า 12 ชั่วโมง สำหรับทดสอบความเป็นพิษต่อเซลล์ RAW 264.7 โดยใช้ cell proliferation reagent WST-1 ดังนี้

ทำการเพาะเลี้ยงเซลล์ RAW 264.7 จำนวน 10,000 cells/well
 ใน 96-wells plate เป็นเวลา 24 ชั่วโมง

↓

ปั๊มสารละลายสารสกัดแกรมม่า-โอไรซานอลในความเข้มข้นเดียวกับที่ใช้ทดสอบ
 รับเซลล์ RAW 264.7 เป็นเวลา 72 ชั่วโมง

↓

เติม Cell Proliferation Reagent WST-1 จากนั้นนำ Plate ไปปั๊มใน
 CO_2 Incubator ต่อเป็นเวลา 45 นาที

↓

นำไปวัดค่าการดูดกลืนแสงที่ความยาวคลื่น 455 นาโนเมตร
 คำนวนหา 50% Inhibition concentration

จิรศิริมหาวิทยาลัยเชียงใหม่
 Copyright[©] by Chiang Mai University
 All rights reserved

บทที่ 4

ผลการทดลองและวิเคราะห์ผลการทดลอง

1. สารสกัดหมาก (crude oil) จากรำข้าว

จากการสกัดรำข้าวกำลังพันธุ์พื้นเมืองจำนวน 3 ตัวอย่าง ประกอบด้วยรำข้าวกำลังเจดีย์โคะ (BR-1) รำข้าวกำลังบึง (BR-2) รำข้าวกำลังต่อ (BR-3) และรำข้าวแดงสายพันธุ์พื้นเมืองอีก 3 ตัวอย่าง ประกอบด้วย รำข้าวแดงจอมทอง (BR-4) รำข้าวแดงดอยหล่อ (BR-5) และรำแดงออมก่อก (BR-6) ด้วยเทคนิค soxhlet's extraction โดยใช้เยกเชน/เยชิลอะซีเตต ในอัตราส่วน 7:3 เป็นตัวทำละลาย เนื่องจากแคมม่า-โอโรชานอลเป็นสารที่มีข้อต่อ จึงสามารถแยกสกัดได้ด้วยตัวทำละลายที่มีข้อต่อ หลังจากการสกัดด้วยเทคนิค soxhlet's extraction เป็นเวลา 3 ชั่วโมง จึงนำสารละลายที่ได้มากรองแล้วนำไปประเทยด้วยเครื่องระเหยโดยการลดความดัน (rotary evaporator) จากนั้นเก็บสารสกัดหมากน้ำมันรำข้าว (crude rice bran oil) ที่ได้ในภาชนะก้นแสง ปริมาณสารสกัดหมากน้ำมันรำข้าว (crude rice bran oil) ที่ได้ดังแสดงในตารางที่ 1

ตารางที่ 1 %yield ของสารสกัดหมากน้ำมันรำข้าว (crude rice bran oil)

| ตัวอย่าง | %yield |
|-----------------------------|--------|
| รำข้าวกำลังเจดีย์โคะ (BR-1) | 4.98 |
| รำข้าวกำลังบึง (BR-2) | 5.67 |
| รำข้าวกำลังต่อ (BR-3) | 2.72 |
| รำข้าวแดงจอมทอง (BR-4) | 5.33 |
| รำข้าวแดงดอยหล่อ (BR-5) | 4.84 |
| รำข้าวแดงออมก่อก (BR-6) | 2.84 |

2. สารสกัดแคมม่า-โอโรชานอล

หลังจากได้สารสกัดหมากน้ำมันรำข้าว (crude rice bran oil) จากรำข้าวแล้วจึงนำสารสกัดหมากน้ำมันรำข้าวมาทำการแยกสารสกัดแคมม่า-โอโรชานอลโดยใช้เทคนิคクロมาโทกราฟีแบบคอลัมน์ (column chromatography) โดยใช้วัสดุภาคเคลื่อนที่ที่มีข้อต่อต่างกันเพื่อทำการแยกสารตามความมีข้อของสารสำคัญที่อยู่ในสารสกัดหมากน้ำมันรำข้าว ซึ่งวัสดุภาคเคลื่อนที่ประกอบด้วยเยกเชน/เยชิลอะซีเตต ในอัตราส่วน 9:1, 7:3 และ 1:1 ตามลำดับ จากนั้นจึงเก็บสารละลายที่ได้ตาม

ความมีช้าเพื่อนำไปประยุกต์โดยการลดความดันภายในต่อเจนเพื่อป้องกันการสลายตัวของแกรมม่า-โกรชานอล %yield ของสารสกัดแกรมม่า-โกรชานอลดังแสดงในตารางที่ 2

ตารางที่ 2 %yield ของสารสกัดแกรมม่า-โกรชานอล

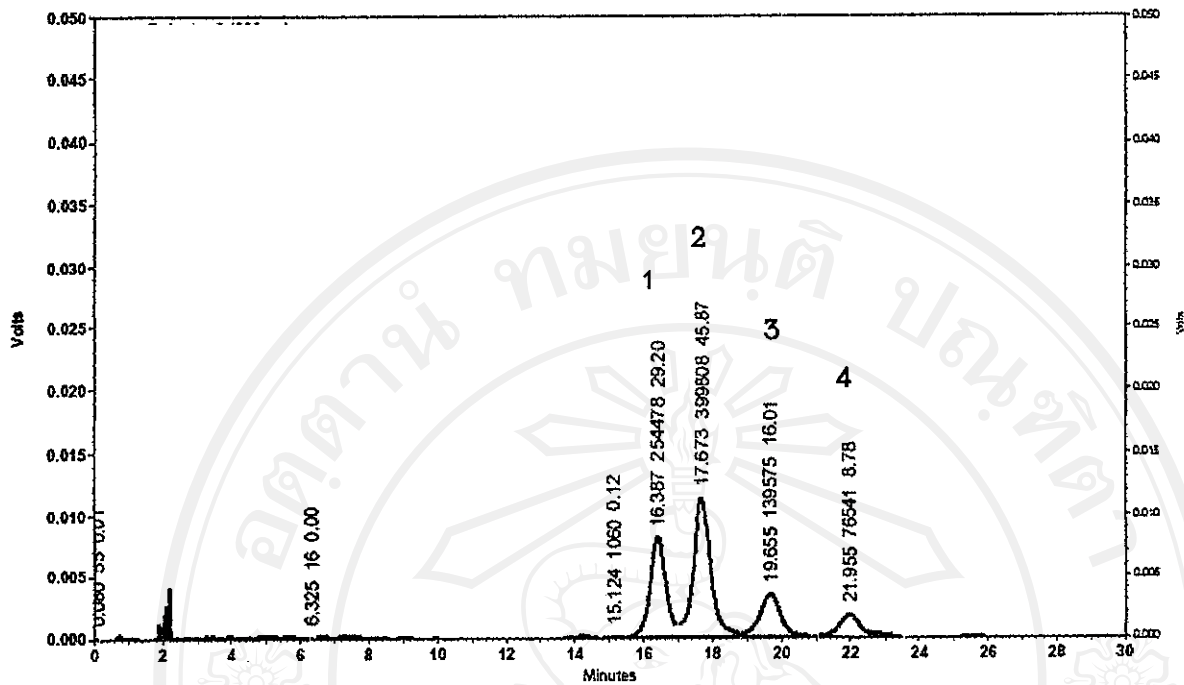
| ตัวอย่าง | %yield สารสกัดแกรมม่า-โกรชานอล | | |
|--------------------------|--------------------------------|------|------|
| | 9:1 | 7:3 | 1:1 |
| รำข้าวกำเจดีย์โคะ (BR-1) | 0.85 | 2.71 | 0.08 |
| รำข้าวกำปึง (BR-2) | 2.78 | 2.50 | 0.10 |
| รำข้าวกำต่อ (BR-3) | 2.01 | 2.34 | 0.14 |
| รำข้าวแดงจอมทอง (BR-4) | 0.94 | 1.82 | 0.04 |
| รำข้าวแดงดอยหล่อ (BR-5) | 0.22 | 2.59 | 0.45 |
| รำข้าวแดงอมก้อม (BR-6) | 0.95 | 1.46 | 0.14 |

หมายเหตุ %yield สารสกัดแกรมม่า-โกรชานอลคิดจากน้ำหนักรำข้าว

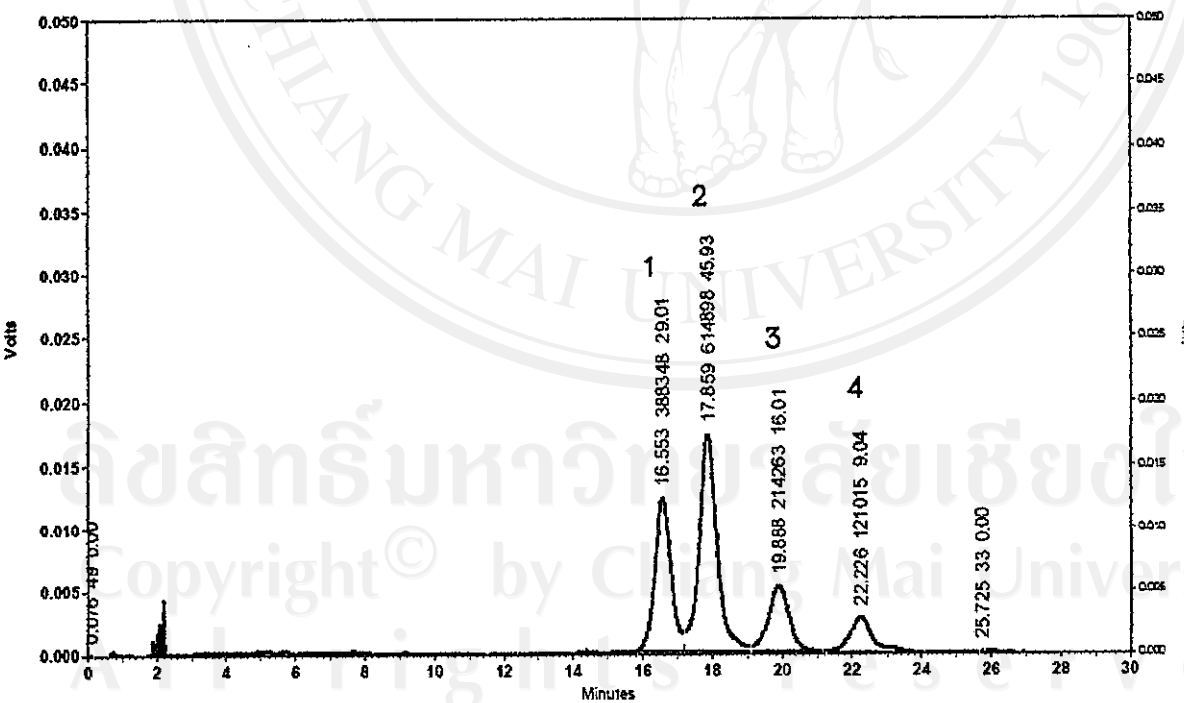
3. การวิเคราะห์ปริมาณแกรมม่า-โกรชานอล

การวิเคราะห์ปริมาณแกรมม่า-โกรชานอลในสารสกัดแกรมม่า-โกรชานอลที่สกัดแยกจากรำข้าวกำและข้าวแดงสายพันธุ์พื้นเมือง ด้วยแปลงวิธีวิเคราะห์ของ Zullaikah et al. (2009) โดยใช้เทคนิคクロมาโทกราฟีของเหลวมรรภภาพสูง (HPLC) จากนั้นจึงเปรียบเทียบปริมาณของแกรมม่า-โกรชานอลในสารสกัดแกรมม่า-โกรชานอลกับกราฟของสารมาตรฐานแกรมม่า-โกรชานอล

จากการวิเคราะห์สารสกัดแกรมม่า-โกรชานอลในแต่ละวัสดุภาคเคลื่อนที่ที่ใช้ พบร่วมสารสกัดแกรมม่า-โกรชานอลที่ได้จากวัสดุภาคเคลื่อนที่ในอัตราส่วน 7:3 มีปริมาณแกรมม่า-โกรชานอลสูงที่สุดและมีการปนเปื้อนของสารอื่นน้อยที่สุด (รูปที่ 7) สำหรับสารสกัดแกรมม่า-โกรชานอลที่ได้จากวัสดุภาคเคลื่อนที่ 1:1 มีปริมาณแกรมม่า-โกรชานอลน้อยและมีการปนเปื้อนของสารอื่น เช่น กัน (รูปที่ 8) ส่วนสารสกัดแกรมม่า-โกรชานอลที่ได้จากวัสดุภาคเคลื่อนที่ 9:1 ตรวจวิเคราะห์ไม่พบแกรมม่า-โกรชานอล (รูปที่ 6) ดังนั้นจึงเลือกสารสกัดแกรมม่า-โกรชานอลที่ได้จากวัสดุภาคเคลื่อนที่ 7:3 ที่มีปริมาณแกรมม่า-โกรชานอลมากกว่าอัตราอัตรา 5 มาทำ standardization ปริมาณแกรมม่า-โกรชานอลของสารสกัดแกรมม่า-โกรชานอลจากรำข้าวที่ได้จากวัสดุภาคเคลื่อนที่ 7:3 ทั้ง 6 ตัวอย่าง ดังแสดงในตารางที่ 2



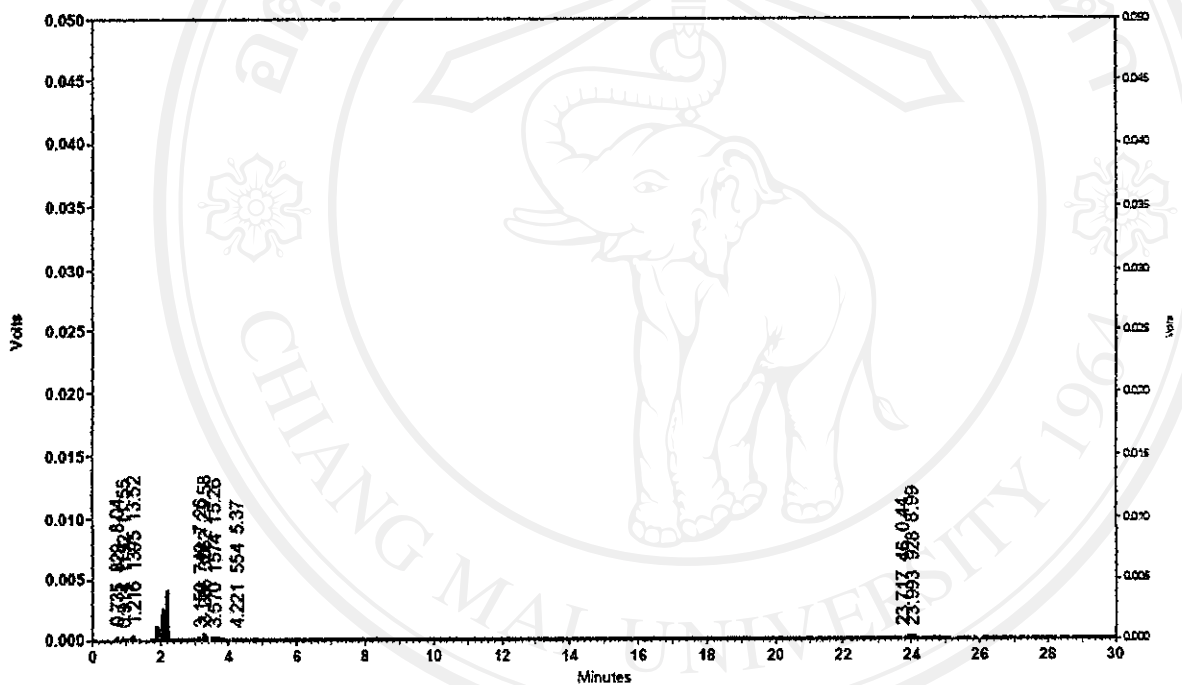
รูปที่ 4 HPLC โครมาโทแกรมของสารมาตรฐานแกมม่า-โอโซรีชานอลความเข้มข้น 25 ppm



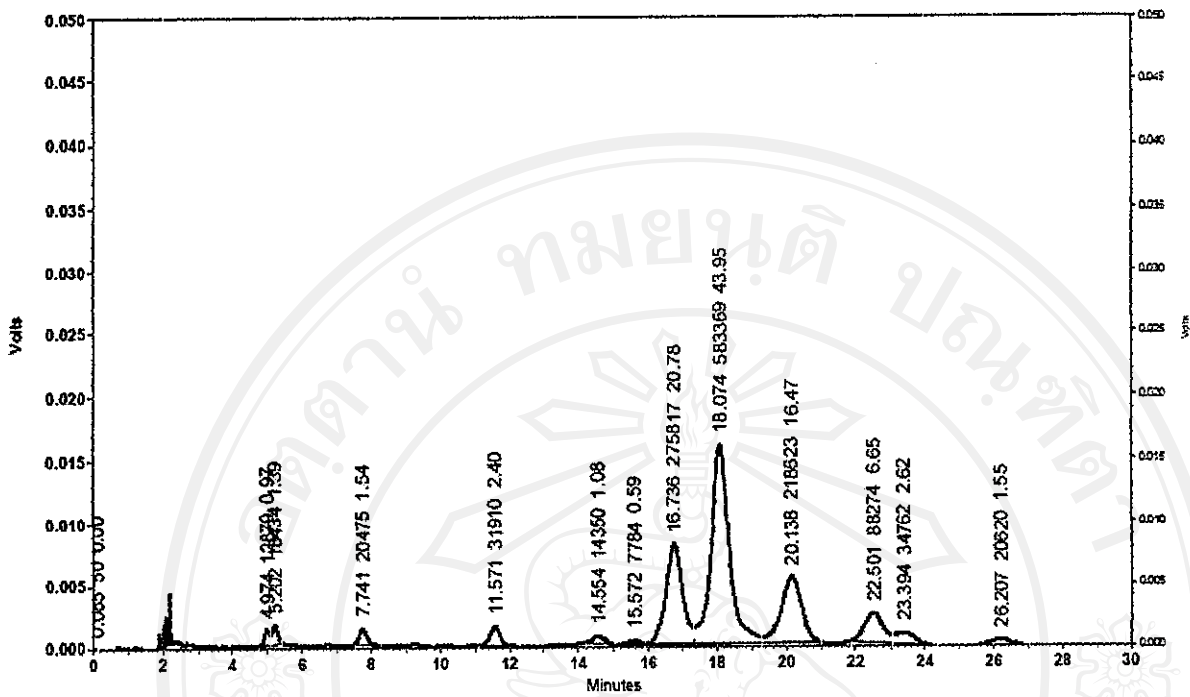
รูปที่ 5 HPLC โครมาโทแกรมของสารมาตรฐานแกมม่า-โอโซรีชานอลความเข้มข้น 50 ppm

จากรูปที่ 4 และ 5 แสดงให้เห็นว่าสารมาตรฐานแกมม่า-โอโซรีชานอลประกอบด้วยสารสำคัญหลักทั้งหมด 4 ชนิดคั่งนี้ cycloartenyl ferulate (1), 24-methylenecycloartanyl ferulate

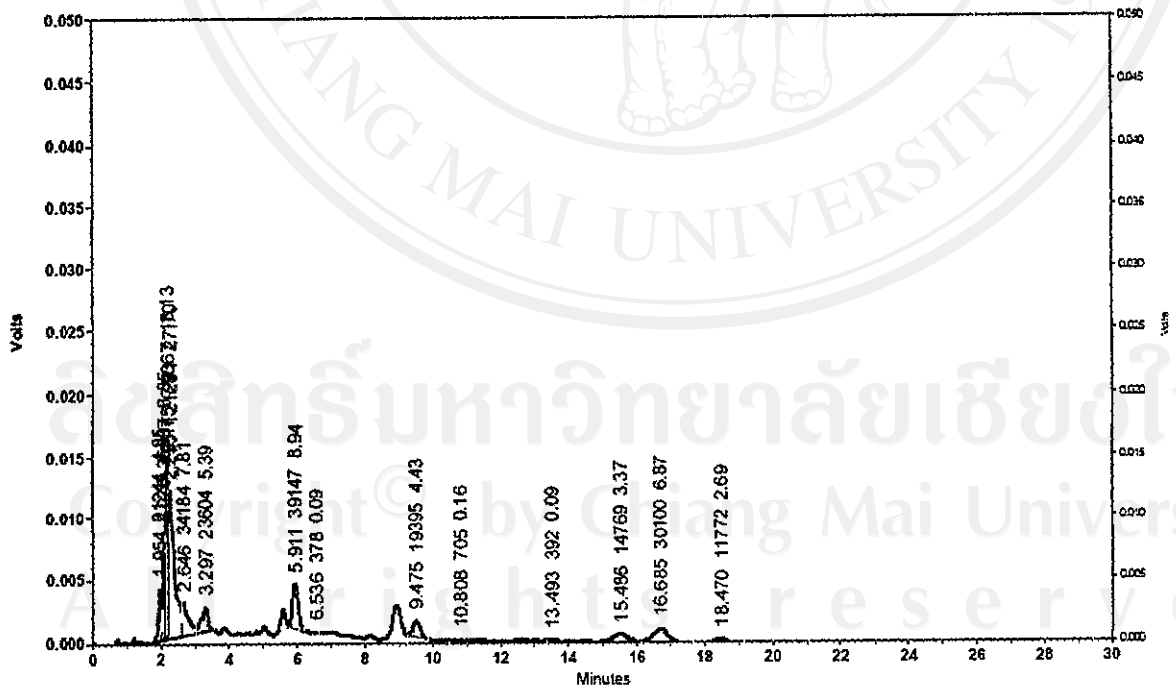
(2), campesteryl ferulate (3) และ sitosteryl ferulate (4) ตามลำดับ แต่มีนักวิทยาศาสตร์สามารถแยกสารสำคัญจากน้ำมันแ去买ม่า-โอริโซนอลเข้มข้น (concentrated γ -oryzanol oil) จากรากข้าวได้ถึง 10 ชนิด ซึ่งประกอบด้วย Δ^7 -stigmastenyl ferulate, stigmasteryl ferulate, cycloartenyl ferulate, 24-methylenecycloartanyl ferulate, Δ^7 -campestenyl ferulate, campesteryl ferulate, Δ^7 -sitostenyl ferulate, sitosteryl ferulate, campestanyl ferulate และ sitostanyl ferulate ซึ่งสารสำคัญหลักที่พบในรากข้าวนั้นประกอบด้วย cycloartenyl ferulate, 24-methylenecycloartanyl ferulate และ campesteryl ferulate ดังแสดงมาแล้วในบทบบทวนวรรณกรรม



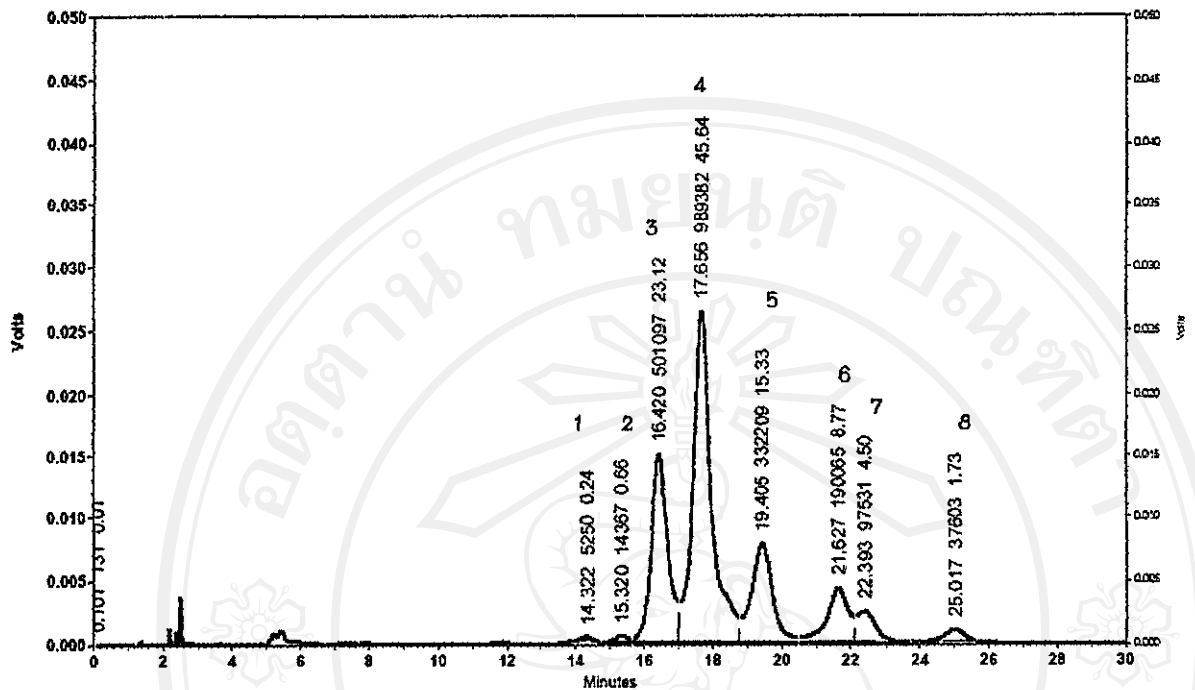
รูปที่ 6 HPLC โครมาโทกราฟของสารสกัดแ去买ม่า-โอริโซนอลที่ได้จากการเคลื่อนที่ 9:1



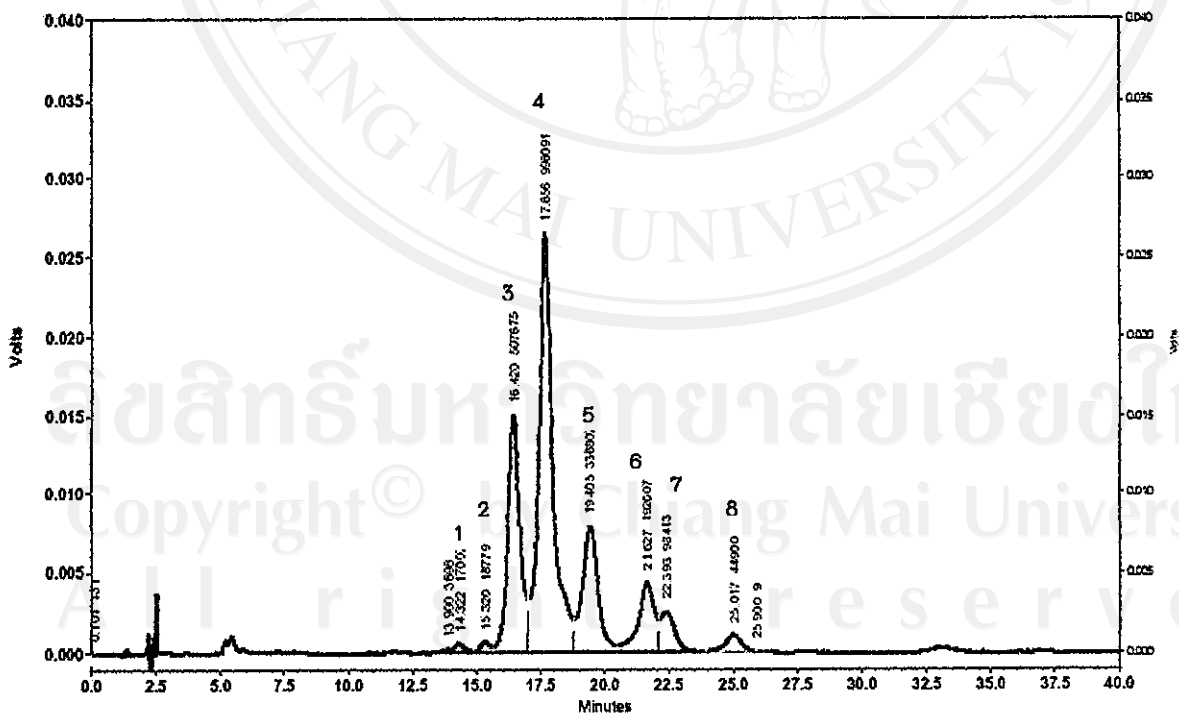
รูปที่ 7 HPLC โครมาโทแกรมของสารสกัดแแกมม่า-โอโรชานอลที่ได้จากการเคลื่อนที่ 7:3



รูปที่ 8 HPLC โครมาโทแกรมของสารสกัดแแกมม่า-โอโรชานอลที่ได้จากการเคลื่อนที่ 1:1



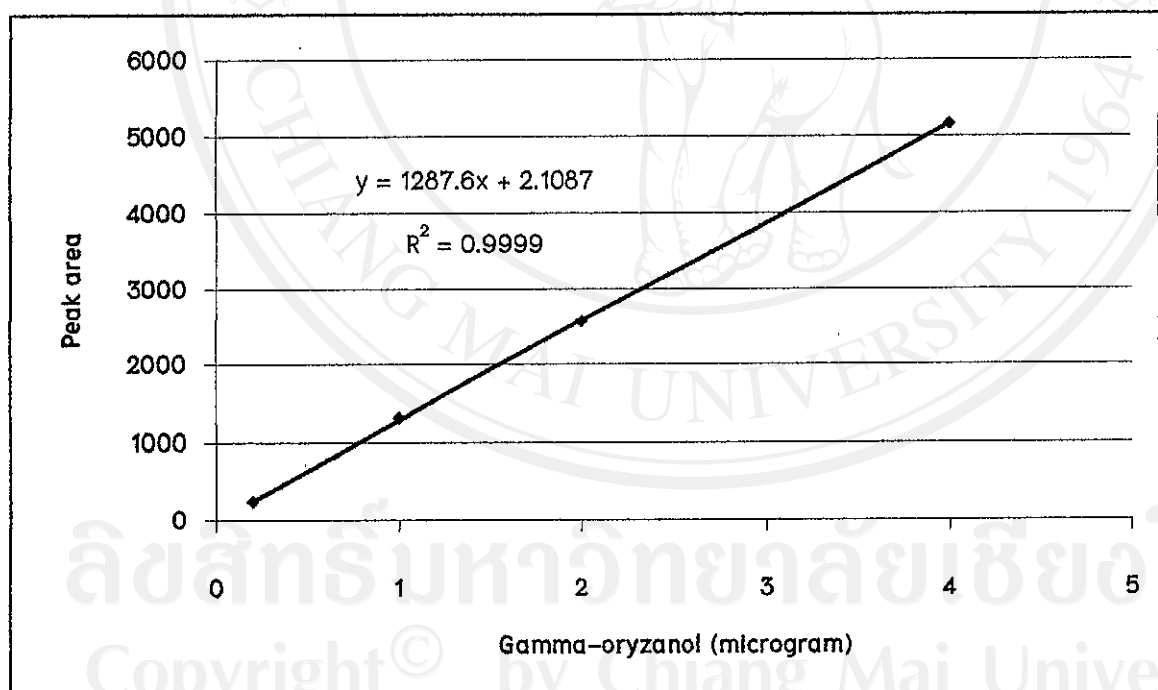
รูปที่ 9 HPLC โครมაโทแกรมของสารสกัดแกลมม่า-โอไรซานอลจากรากข้าวกำนัง (BR-2)



รูปที่ 10 HPLC โครมაโทแกรมของสารสกัดแกลมม่า-โอไรซานอลจากรากข้าวแดงจอมทอง (BR-4)

จากรูปที่ 9 แสดงให้เห็นว่าสารสกัดแกรมม่า-โอโซานอลจากรำข้าวกำปัง (BR-2) ประกอบด้วยสารสำคัญทั้งหมด 8 ชนิด เมื่อเปรียบเทียบค่า retention time กับสารมาตรฐาน แกรมม่า-โอโซานอลแล้วพบว่าสารสกัดแกรมม่า-โอโซานอลจากรำข้าวกำปังประกอบด้วยสารสำคัญหลักทั้งหมด 3 ชนิดคือ cycloartenyl ferulate (3), 24-methylenecycloartanyl ferulate (4) และ campesteryl ferulate (5) สำหรับสารสำคัญอื่นที่พบในสารสกัดแกรมม่า-โอโซานอลจาก รำข้าวกำปังสายพันธุ์ไทยนั้นต้องทำการศึกษาวิจัยต่อไป

จากรูปที่ 10 แสดงให้เห็นว่าสารสกัดแกรมม่า-โอโซานอลจากรำข้าวแดงจอมทอง ประกอบด้วยสารสำคัญทั้งหมด 8 ชนิดเช่นเดียวกับสารสกัดแกรมม่า-โอโซานอลที่ได้จากการรำข้าวกำปังสายพันธุ์พื้นเมืองเช่นกัน โดยสารสกัดแกรมม่า-โอโซานอลจากรำข้าวแดงจอมทองประกอบด้วยสารสำคัญหลักทั้งหมด 3 ชนิดคือ cycloartenyl ferulate (3), 24-methylenecycloartanyl ferulate (4) และ campesteryl ferulate (5) สำหรับสารสำคัญอื่นที่พบในสารสกัดแกรมม่า-โอโซานอลจาก รำข้าวกำปังสายพันธุ์ไทยนั้นต้องทำการศึกษาวิจัยต่อไปด้วยเช่นกัน



รูปที่ 11 กราฟมาตรฐานของสารมาตรฐานแกรมม่า-โอโซานอล

ตารางที่ 3 ร้อยละของแกรมม่า-โไฮเดอเรชันอลในสารสกัดแกรมม่า-โไฮเดอเรชันอล

| ตัวอย่าง | ร้อยละของแกรมม่า-โไฮเดอเรชันอลในสารสกัดแกรมม่า-โไฮเดอเรชันอล |
|--------------------------|--|
| รำข้าวกำเจดี้ย์โค (BR-1) | 1.17 ± 0.11 |
| รำข้าวกำปีง (BR-2) | 8.33 ± 0.13 |
| รำข้าวกำต่อ (BR-3) | 8.20 ± 0.23 |
| รำข้าวแดงจอมทอง (BR-4) | 10.80 ± 0.25 |
| รำข้าวแดงดอยหล่อ (BR-5) | 6.93 ± 0.05 |
| รำข้าวแดงอมก้อม (BR-6) | 6.25 ± 0.17 |

จากการคำนวณหาปริมาณแกรมม่า-โไฮเดอเรชันอลในสารสกัดแกรมม่า-โไฮเดอเรชันอลที่ได้จากภูมิภาคเคลื่อนที่อัตราส่วน 7:3 แสดงให้เห็นว่าปริมาณแกรมม่า-โไฮเดอเรชันอลในตัวอย่างทั้ง 6 ตัวอย่างอยู่ในช่วงร้อยละ 1.17 – 10.80 ซึ่งซึ่งที่กว้างนี้อาจมีสาเหตุมาจากการชายพันธุ์ข้าวข้าวกำและข้าวแดงสายพันธุ์พื้นเมือง แหล่งปลูก เป็นต้น ดังนั้นจึงได้คัดเลือกสารสกัดแกรมม่า-โไฮเดอเรชันอลของรำข้าวกำปีง (BR-2) รำข้าวกำต่อ (BR-3) รำข้าวแดงจอมทอง (BR-4) รำข้าวแดงดอยหล่อ (BR-5) และรำข้าวแดงอมก้อม (BR-6) มาทำ standardization ก่อนที่จะนำไปศึกษาฤทธิ์ต้านการอักเสบผ่านกลไกการยับยั้งการสร้างในตริกอออกไซด์ของเซลล์ mouse macrophage RAW 264.7 ต่อไป

4. การประเมินฤทธิ์ต้านการอักเสบผ่านการยับยั้งการสร้างในตริกอออกไซด์

เซลล์โมโนไซด์ (monocytes) และแมคโครฟลาจเป็นเซลล์ที่มีความสามารถในการตอบสนองต่อสิ่งเร้า เช่น endotoxin (lipopolysaccharide: LPS), inflammatory cytokines, ultraviolet, arsenite และอื่นๆ ทำให้มีการสร้างในตริกอออกไซด์อย่างมาก ในตริกอออกไซด์ที่ปลดปล่อยจำนวนมากนี้เป็นตัวกลางของการก่อพยาธิสภาพต่างๆ ในการประเมินฤทธิ์ต้านการอักเสบผ่านกลไกการยับยั้งการสร้างในตริกอออกไซด์ในครั้งนี้จะใช้เซลล์ mouse macrophage RAW 264.7 เป็นแบบทดสอบโดยการตีนด้วย LPS และ IFN-γ ในความเข้มข้นที่เหมาะสม เพื่อจำลองการกระตุ้นในภาวะอักเสบและการวัดปริมาณในตริกอออกไซด์ที่ปลดปล่อยออกมายโดยวัดในรูปของไนโตรทไดอยูริก-acid Griess reagent สารสกัดแกรมม่า-โไฮเดอเรชันอลจากรำข้าวกำสายพันธุ์ไทยที่สามารถยับยั้งการสร้างในตริกอออกไซด์ได้จะสามารถจัดว่าเป็นสารที่มีฤทธิ์ต้านการอักเสบผ่านกลไกการยับยั้งการสร้างในตริกอออกไซด์ได้ โดยความเข้มข้นของสารสกัดแกรมม่า-โไฮเดอเรชันอลที่ใช้

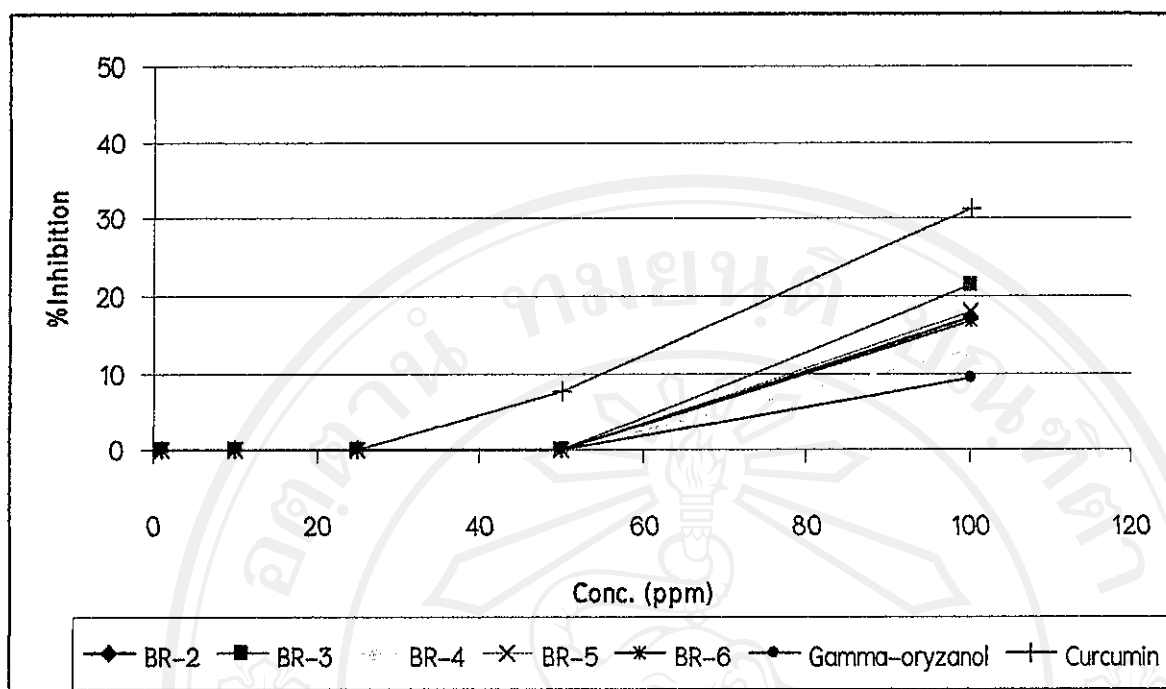
ในการทดสอบในครั้งนี้คือ 1, 10, 25, 50 และ 100 $\mu\text{g/ml}$ ความเข้มข้นที่ใช้ต้องตรวจความเป็นพิษต่อเซลล์ mouse macrophage RAW 264.7 ก่อนโดยการใช้ cell proliferation reagent WST-1 โดยผลการทดสอบความเป็นพิษต่อเซลล์ mouse macrophage RAW 264.7 ดังแสดงในตารางที่ 4

ตารางที่ 4 ความเป็นพิษต่อเซลล์ mouse macrophage RAW 264.7

| สารสกัดแกลมม่า-โอลิโวเรชานอล | ร้อยละความเป็นพิษต่อเซลล์ mouse macrophage RAW 264.7 ที่ความเข้มข้น | | | | |
|---------------------------------|---|---------------------|---------------------|---------------------|----------------------|
| | 1 $\mu\text{g/ml}$ | 10 $\mu\text{g/ml}$ | 25 $\mu\text{g/ml}$ | 50 $\mu\text{g/ml}$ | 100 $\mu\text{g/ml}$ |
| รำข้าวกำปึง (BR-2) | 0 | 0 | 0 | 0 | 17.34 \pm 1.83 |
| รำข้าวกำต่อ (BR-3) | 0 | 0 | 0 | 0 | 21.55 \pm 1.74 |
| รำข้าวแดงจอมทอง (BR-4) | 0 | 0 | 0 | 0 | 13.29 \pm 1.21 |
| รำข้าวแดงดอยหล่อ (BR-5) | 0 | 0 | 0 | 0 | 18.09 \pm 2.15 |
| รำข้าวแดงอมก وخ (BR-6) | 0 | 0 | 0 | 0 | 16.87 \pm 1.67 |
| สารมาตรฐานแกลมม่า-โอลิโวเรชานอล | 0 | 0 | 0 | 0 | 9.54 \pm 1.17 |
| สารมาตรฐานเคอร์คูมิน | 0 | 0 | 0 | 7.83 \pm 1.12 | 31.32 \pm 1.88 |

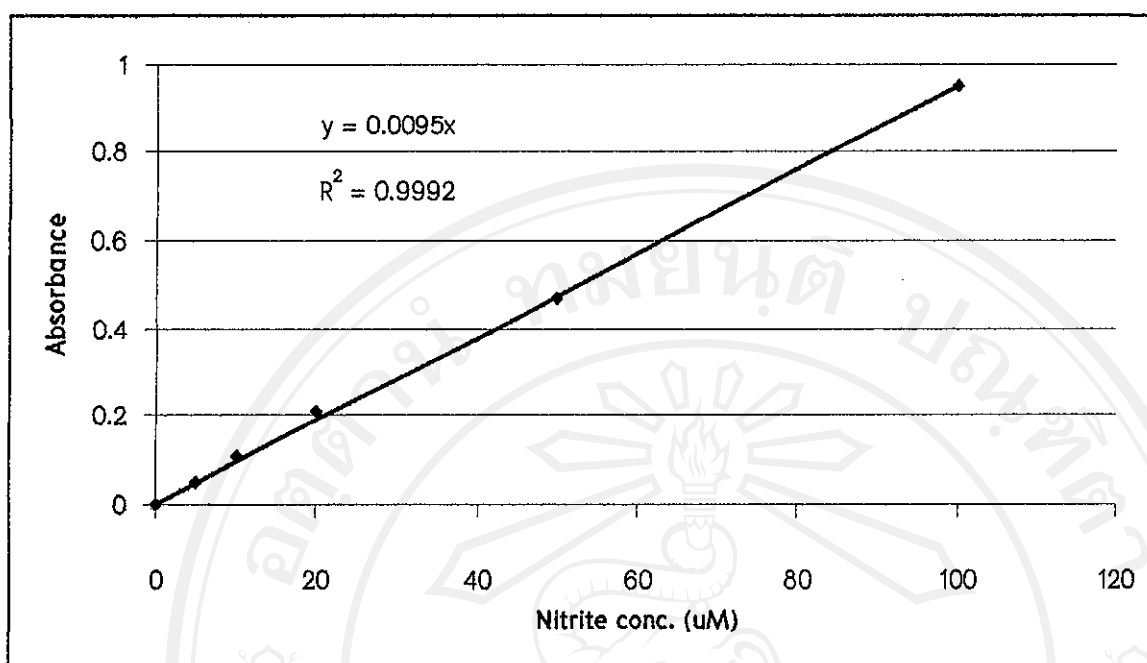
หมายเหตุ 0 คือ ไม่มีความเป็นพิษต่อเซลล์ mouse macrophage RAW 264.7

จากการทดสอบความเป็นพิษต่อเซลล์ mouse macrophage RAW 264.7 ด้วย cell proliferation WST-1 พบร่วมสารสกัดแกลมม่า-โอลิโวเรชานอลจากรำข้าวกำปึง (BR-2) รำข้าวกำต่อ (BR-3) รำข้าวแดงจอมทอง (BR-4) รำข้าวแดงดอยหล่อ (BR-5) รำข้าวแดงอมกوخ (BR-6) และสารมาตรฐานแกลมม่า-โอลิโวเรชานอลแสดงความเป็นพิษต่อเซลล์ mouse macrophage RAW 264.7 ที่ความเข้มข้น 100 $\mu\text{g/ml}$ โดยสารมาตรฐานเคอร์คูมินที่ใช้เป็นสารมาตรฐานอ้างอิง (standard reference) เริ่มแสดงความเป็นพิษต่อเซลล์ mouse macrophage RAW 264.7 ที่ความเข้มข้น 50 $\mu\text{g/ml}$ ดังนั้นจึงเลือกทดสอบทุกด้านการอักเสบผ่านการยับยั้งการสร้างไนตริกออกไซด์ของสารสกัดแกลมม่า-โอลิโวเรชานอลทั้ง 5 ตัวอย่าง รวมทั้งสารมาตรฐานแกลมม่า-โอลิโวเรชานอลที่ความเข้มข้น 1, 10, 25 และ 50 $\mu\text{g/ml}$ ส่วนสารมาตรฐานเคอร์คูมินเลือกทดสอบที่ความเข้มข้น 1, 10 และ 25 $\mu\text{g/ml}$



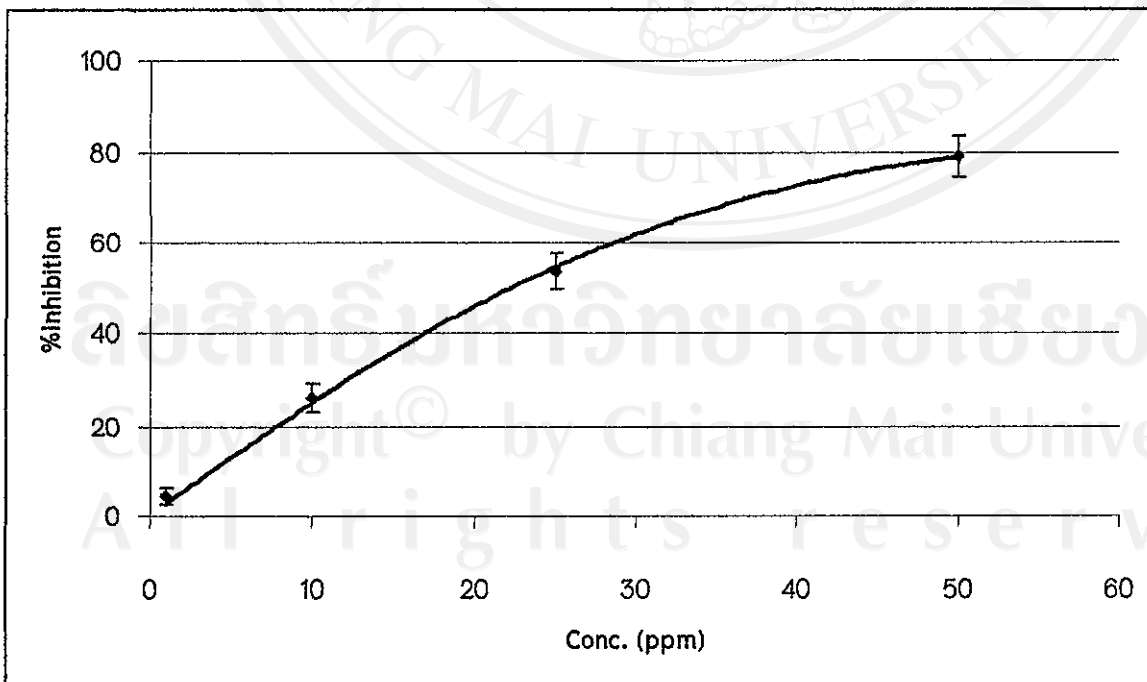
รูปที่ 12 ความเป็นพิษต่อเซลล์ mouse macrophage RAW 264.7 ของสารสกัดแกรมม่า-โโคโรชานอลและสารมาตรฐานแกรมม่า-โโคโรชานอลและเคอร์คูมิน

เมื่อทดสอบความเป็นพิษต่อเซลล์ mouse macrophage RAW 264.7 เรียบร้อยแล้วจึงนำสารสกัดแกรมม่า-โโคโรชานอลที่สกัดจากรากข้าวกำกับปีง (BR-2) รากข้าวกำกัตต่ำ (BR-3) รากข้าวแดงจอมทอง (BR-4) รากข้าวแดงดอยหล่อ (BR-5) รากข้าวแดงอมก้ำย (BR-6) สารมาตรฐานแกรมม่า-โโคโรชานอลและสารมาตรฐานเคอร์คูมินมาทดสอบฤทธิ์ต้านการอักเสบผ่านกลไกการยับยั้งการสร้างอนีตริกօอกไซด์จากเซลล์ mouse macrophage RAW 264.7 โดยละลายสารสกัดแกรมม่า-โโคโรชานอลและสารมาตรฐานที่จะใช้ทดสอบด้วย dimethylsulfoxide (DMSO) และเตรียมให้ได้ความเข้มข้นดังที่กล่าวมาแล้วข้างต้นด้วยอาหารเลี้ยงเซลล์ โดยเซลล์ mouse macrophage RAW 264.7 จะถูกกระตุนด้วย LPS ความเข้มข้น 50 นาโนกรัมต่อมิลลิลิตรและ IFN-γ ความเข้มข้น 100 นาโนกรัมต่อมิลลิลิตร จากนั้นจึงทำการวัดค่าการดูดกลืนแสงที่ 540 นาโนเมตร และเปรียบเทียบค่าการดูดกลืนแสงที่วัดได้กับกราฟมาตรฐานของโพแทสเซียมไนโตรท (KNO₂)

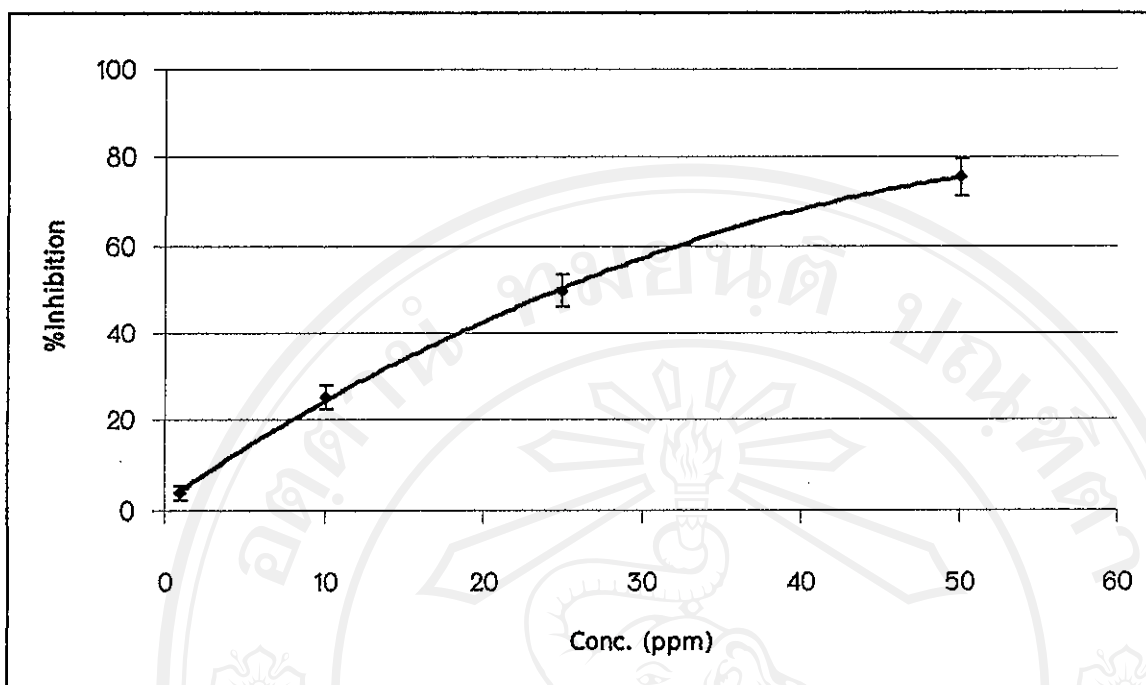


รูปที่ 13 กราฟมาตรฐานของโพแทสเซียมไนโตร๊

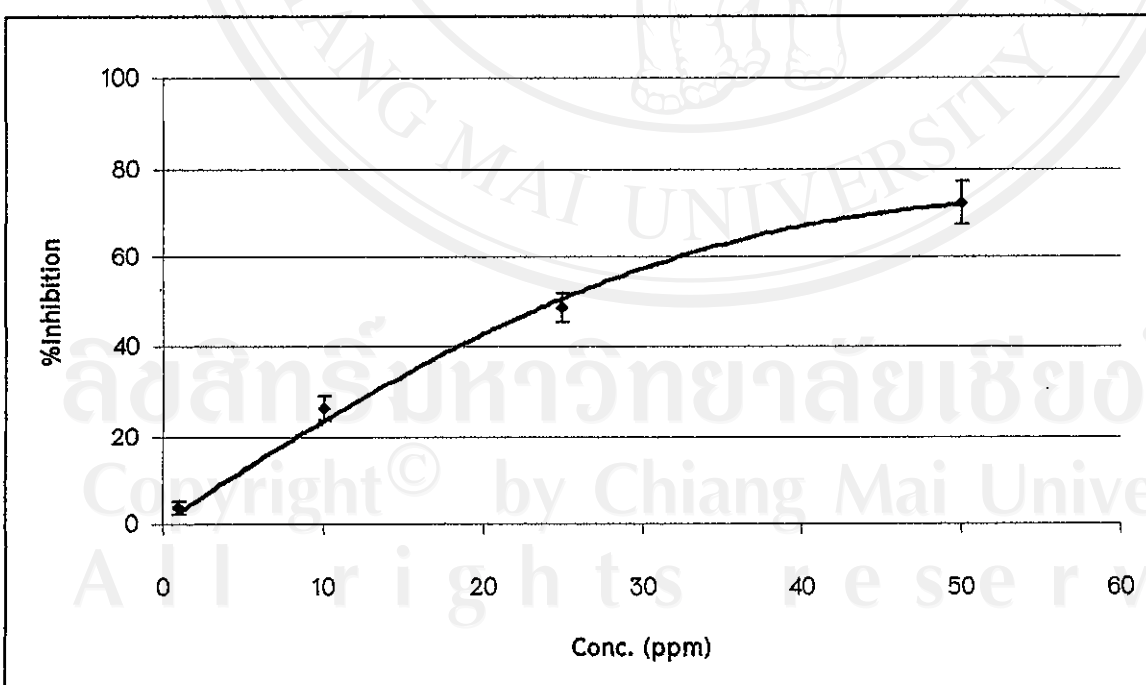
จากรูปที่ 13 แสดงกราฟเส้นตรงของสารมาตรฐานโพแทสเซียมไนโตร๊ โดยมีค่า $R^2 = 0.992$ และมีสมการเส้นตรง $y = 0.0095x$



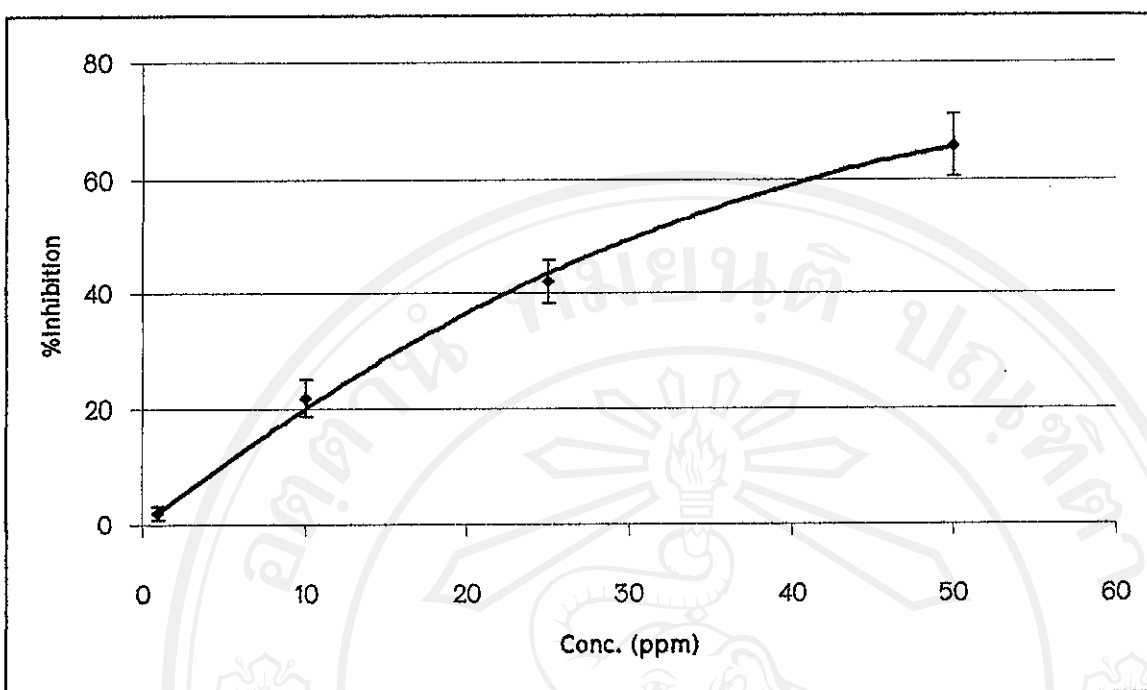
รูปที่ 14 Dose response curve ของสารสกัดแกลมม่า-โอไรซานอลจากรากข้าวกำปัง (BR-2) ในการยับยั้งการสร้างไนตริกออกไซด์



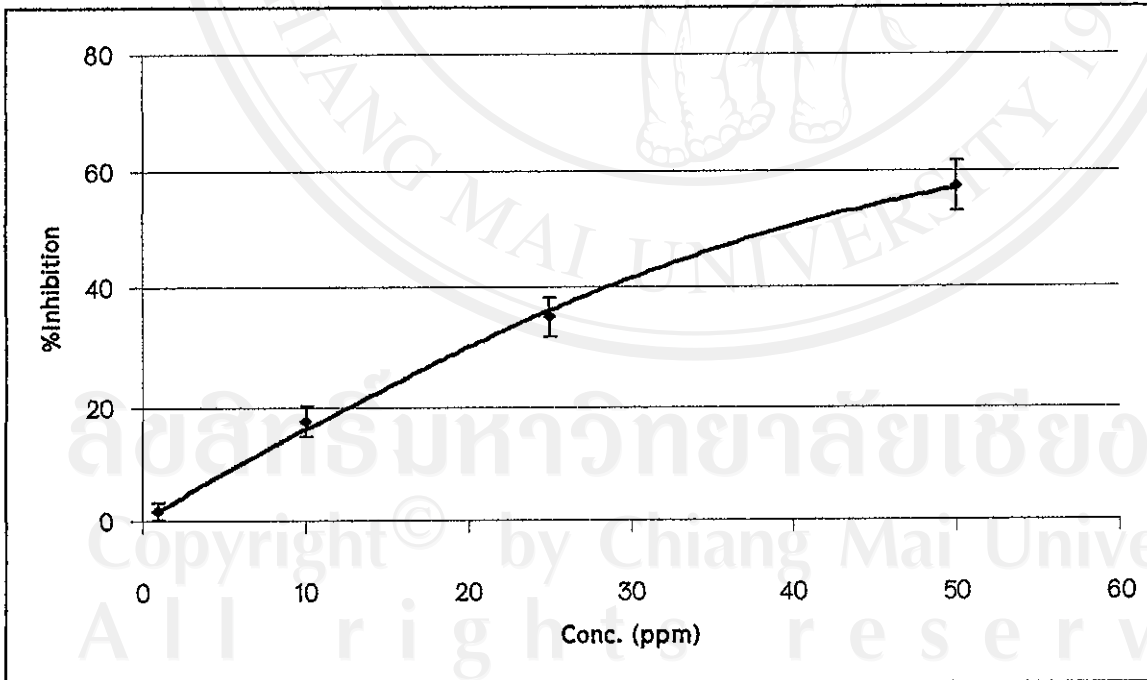
รูปที่ 15 Dose response curve ของสารสกัดแกรมม่า-ໂໂრเซานอลจากรากข้าวกำกั่ต่อ (BR-3) ในการยับยั้งการสร้างไนตริกออกไซด์



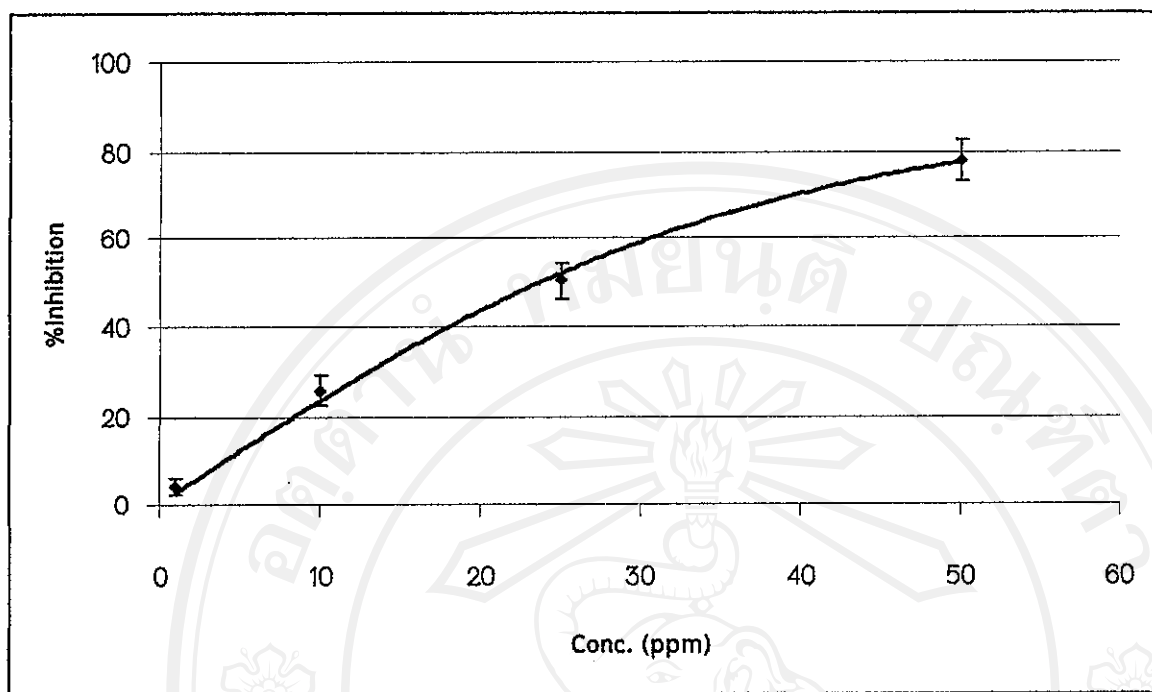
รูปที่ 16 Dose response curve ของสารสกัดแกรมม่า-ໂໂรเซานอลจากรากข้าวแดงจอมทอง (BR-4) ในการยับยั้งการสร้างไนตริกออกไซด์



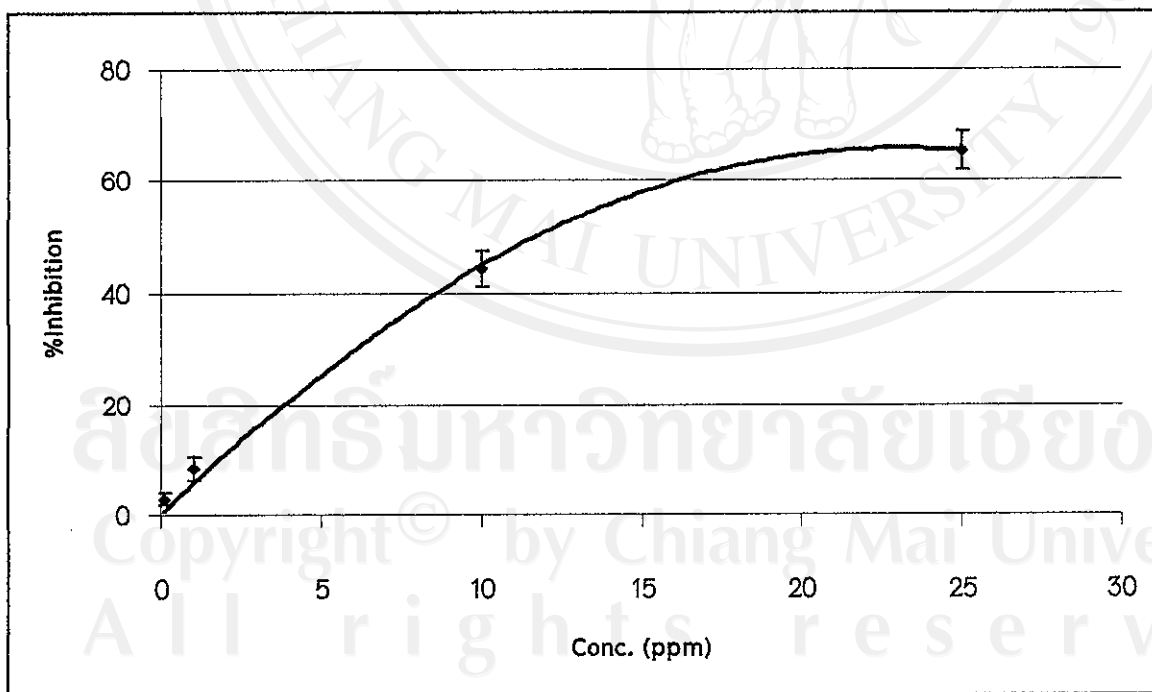
รูปที่ 17 Dose response curve ของสารสกัดแกรมม่า-ໂໂไรซานอลจากรำข้าวแดงดอยหล่อ (BR-5) ในการยับยั้งการสร้างไนตริกออกไซด์



รูปที่ 18 Dose response curve ของสารสกัดแกรมม่า-ໂໂไรซานอลจากรำข้าวแดงดอยก่อม (BR-6) ในการยับยั้งการสร้างไนตริกออกไซด์



รูปที่ 19 Dose response curve ของสารมาตรฐาน gamma-เมธานอลในการยับยั้งการสร้างในตระกูลออกไซด์



รูปที่ 20 Dose response curve ของสารมาตรฐาน carbomycinในการยับยั้งการสร้างในตระกูลออกไซด์

จากรูปที่ 14-20 แสดง Dose response curve ของสารสกัดแกรมม่า-โอโซานอลจากรำข้าว ก้าบปีง (BR-2) รำข้าวกำต่อ (BR-3) รำข้าวแกงจอมทอง (BR-4) รำข้าวแดงดอยหล่อ (BR-5) รำข้าว แดงออมก้อย (BR-6) สารมาตรฐานแกรมม่า-โอโซานอลและสารมาตรฐานเคอร์คูมิน ตามลำดับ ใน การยับยั้งการสร้างไนติกออกไซด์ของเซลล์ mouse macrophage RAW 264.7 ที่ถูกกระตุ้นด้วย LPS และ IFN- γ จากรูปแสดงให้เห็นว่าสารตัวอย่างทั้งหมดสามารถยับยั้งการสร้างไนติกออกไซด์ได้ เพิ่มขึ้นตามความเข้มข้น โดยค่า 50% inhibition concentration ได้

ตารางที่ 5 50% Inhibition concentration ของสารสกัดแกรมม่า-โอโซานอล

| สารสกัดแกรมม่า-โอโซานอล | 50% Inhibition concentration ($\mu\text{g/ml}$) |
|----------------------------|---|
| รำข้าวกำปีง (BR-2) | 23.69 \pm 1.87 ^b |
| รำข้าวกำต่อ (BR-3) | 24.66 \pm 2.31 ^b |
| รำข้าวแดงจอมทอง (BR-4) | 26.92 \pm 2.23 ^b |
| รำข้าวแดงดอยหล่อ (BR-5) | 34.20 \pm 2.14 ^c |
| รำข้าวแดงออมก้อย (BR-6) | 41.22 \pm 3.09 ^d |
| สารมาตรฐานแกรมม่า-โอโซานอล | 24.12 \pm 1.67 ^b |
| สารมาตรฐานเคอร์คูมิน | 11.78 \pm 1.59 ^a |

หมายเหตุ คำนวนที่ระดับความน่าเชื่อมั่น $\geq 95\%$

จากตารางที่ 5 ซึ่งแสดง 50% Inhibition concentration ของสารสกัดแกรมม่า-โอโซานอล พบร่วมกับสารสกัดแกรมม่า-โอโซานอล มี 50% Inhibition concentration อยู่ระหว่าง 23.69 – 41.22 $\mu\text{g/ml}$ โดยสามารถเรียงลำดับความสามารถในการยับยั้งการสร้างไนติกออกไซด์จากเซลล์ mouse macrophage RAW 264.7 จากสูงไปต่ำไปดังนี้ สารมาตรฐานเคอร์คูมิน (50% Inhibition concentration = $11.78 \pm 1.59 \mu\text{g/ml}$) $>$ สารสกัดแกรมม่า-โอโซานอลจากรำข้าวกำปีง ($23.69 \pm 1.87 \mu\text{g/ml}$) $>$ สารมาตรฐานแกรมม่า-โอโซานอล ($24.12 \pm 1.67 \mu\text{g/ml}$) $>$ สารสกัดแกรมม่า-โอโซานอลจากรำข้าวกำต่อ ($24.66 \pm 2.31 \mu\text{g/ml}$) $>$ สารสกัดแกรมม่า-โอโซานอลจากรำข้าวแดงจอมทอง ($26.92 \pm 2.23 \mu\text{g/ml}$) $>$ สารสกัดแกรมม่า-โอโซานอลจากรำข้าวแดงดอยหล่อ ($34.20 \pm 2.14 \mu\text{g/ml}$) $>$ สารสกัดแกรมม่า-โอโซานอลจากรำข้าวแดงออมก้อย ($41.22 \pm 3.09 \mu\text{g/ml}$) ตามลำดับ พบร่วมกับ 50% Inhibition concentration ของสารมาตรฐานแกรมม่า-โอโซาน

นอล สารสกัดแกรมม่า-โอลิโซนอลจากรากข้าวกำปีง รักษาภัยต่อและรักษาแดงจอมทองมีค่าไม่แตกต่างกันอย่างมีนัยสำคัญทางสถิติที่ระดับความนำเชื่อมั่น 95% โดยพบว่าสารมาตรฐานเครื่องคูมิโนออกฤทธิ์ยับยั้งการสร้างไนตริกออกไซด์จากเซลล์ mouse macrophage RAW 264.7 ได้ดีที่สุด มีค่า 50% Inhibition concentration = $11.78 \pm 1.59 \text{ } \mu\text{g/ml}$ สำหรับข้อมูลการต้านการอักเสบผ่านกลไกการยับยั้งการสร้างไนตริกออกไซด์ของสารสกัดแกรมม่า-โอลิโซนอลที่สกัดจากรากข้าวกำปีงและรักษาแดงสายพันธุ์พื้นเมืองจะเป็นประโยชน์ในการศึกษาถูกต้องในการยักเสบในระดับสูงต่อไป



ลิขสิทธิ์มหาวิทยาลัยเชียงใหม่
Copyright[©] by Chiang Mai University
All rights reserved

บทที่ 5

สรุปผลการทดลอง

จากการศึกษาปริมาณแกรมม่า-โอโซานอลจากรำข้าวกำเจดี้ยโคง (BR-1) รำข้าวกำบึง (BR-2) รำข้าวกำต่อ (BR-3) รำข้าวแดงจอมทอง (BR-3) รำข้าวแดงดอยหล่อ (BR-4) และรำข้าวแดงอมก وخ (BR-6) พบรำข้าวสารสกัดแกรมม่า-โอโซานอลที่แยกสกัดจากรำข้าวหั้ง 6 ชนิดมีปริมาณแกรมม่า-โอโซานอลอยู่ในช่วงระหว่าง $1.17 - 10.80\%$ โดยสามารถเรียงลำดับปริมาณแกรมม่า-โอโซานอลที่เพบจากสูงไปต่ำได้ดังนี้ สารสกัดแกรมม่า-โอโซานอลจากการรำข้าวแดงจอมทอง ($10.80 \pm 0.25\%$) > รำข้าวกำบึง ($8.33 \pm 0.13\%$) > รำข้าวกำต่อ ($8.20 \pm 0.23\%$) > รำข้าวแดงดอยหล่อ ($6.93 \pm 0.05\%$) > รำข้าวแดงอมกوخ ($6.25 \pm 0.17\%$) > รำข้าวกำเจดี้ยโคง ($1.17 \pm 0.11\%$) จากนั้นจึงคัดเลือกสารสกัดแกรมม่า-โอโซานอลที่มีปริมาณแกรมม่า-โอโซานอลมากกว่าร้อยละ 5 มาทำ standardization จากนั้นจึงนำสารสกัดแกรมม่า-โอโซานอลมาทดสอบฤทธิ์ต้านการอักเสบผ่านกลไกการยับยั้งการสร้างไนตริกออกไซด์จากเซลล์ mouse macrophage RAW 264.7 ที่ถูกกระตุ้นด้วย LPS และ IFN- γ เปรียบเทียบสารมาตรฐานแกรมม่า-โอโซานอลและสารมาตรฐานเคอร์คูมิน โดยสามารถเรียงลำดับความสามารถในการยับยั้งการสร้างไนตริกออกไซด์จากเซลล์ mouse macrophage RAW 264.7 จากสูงไปต่ำไปดังนี้ สารมาตรฐานเคอร์คูมิน ($50\% \text{ Inhibition concentration} = 11.78 \pm 1.59 \mu\text{g/ml}$) > สารสกัดแกรมม่า-โอโซานอลจากการรำข้าวกำบึง ($23.69 \pm 1.87 \mu\text{g/ml}$) > สารมาตรฐานแกรมม่า-โอโซานอล ($24.12 \pm 1.67 \mu\text{g/ml}$) > สารสกัดแกรมม่า-โอโซานอลจากการรำข้าวกำต่อ ($24.66 \pm 2.31 \mu\text{g/ml}$) > สารสกัดแกรมม่า-โอโซานอลจากการรำข้าวแดงดอยหล่อ ($26.92 \pm 2.23 \mu\text{g/ml}$) > สารสกัดแกรมม่า-โอโซานอลจากการรำข้าวแดงจอมทอง ($34.20 \pm 2.14 \mu\text{g/ml}$) > สารสกัดแกรมม่า-โอโซานอลจากการรำข้าวแดงอมกوخ ($41.22 \pm 3.09 \mu\text{g/ml}$) ตามลำดับ ความเข้มข้นของสารสกัดแกรมม่า-โอโซานอล สารมาตรฐานแกรมม่า-โอโซานอลและเคอร์คูมินที่ใช้ทดสอบฤทธิ์ต้านการอักเสบไม่แสดงความเป็นพิษต่อบรรเพลส mouse macrophage RAW 264.7 จากการวิเคราะห์ทางสถิติพบว่าค่า $50\% \text{ Inhibition concentration}$ ของสารมาตรฐานแกรมม่า-โอโซานอล สารสกัดแกรมม่า-โอโซานอลจากการรำข้าวกำบึง รำข้าวกำต่อ และรำข้าวแดงจอมทองมีค่าไม่แตกต่างกันอย่างมีนัยสำคัญทางสถิติที่ระดับความน่าเชื่อถือ 95% สำหรับข้อมูลการยับยั้งการสร้างไนตริกออกไซด์ของสารสกัดแกรมม่า-โอโซานอลที่ได้จะใช้เป็นข้อมูลพื้นฐานสำหรับการศึกษาฤทธิ์ต้านการอักเสบด้วยกลไกอื่นๆ ต่อไป

เอกสารอ้างอิง

1. Boonsit P, Pongpiachan P, Julsrigival S, Karladee D. (2010). Gamma oryzanol content in glutinous purple rice landrace varieties. *Chiang Mai University Journal of Natural Science.* 9(1): 151–157.
2. Burney S, Caulfield JL, Niles JC, Wishnok JS. (1999). The chemistry of DNA damage from nitric oxide and peroxy nitrite. *Mutation Research.* 424: 37–49
3. Butsat S and Siriamornpun (2010). Antioxidant capacities and phenolic compounds of the husk, bran and endosperm of Thai rice. *Food Chemistry.* 119(2): 606–613.
4. Chen C and Kong AN. (2004). Dietary Chemopreventive compounds and ARE/EpRE signaling. *Free Radical Biological Medicine.* 36: 1505–1516.
5. Cuzzocrea S, Riley DP, Caputi AP, Salvemini D. (2001). Antioxidant therapy: a new pharmacological approach in shock, inflammation, and ischemia/reperfusion injury. *Pharmacology Review.* 53: 135–159.
6. Daick M and Saska M. (1994). Separation of vitamin E and γ -oryzanol from rice bran oil by normal-phase chromatography. *Journal of the American Oil Chemists' Society.* 71: 1211–1217.
7. Deschner E, Ruperto J, Wong G, Newmark H. (1991). Quercetin and rutin as inhibitors of azoxymethanol-induced colonic neoplasia. *Carcinogenesis.* 12: 1191–1196.
8. Evershed RP, Spooner N, Prescott MC, Goad LJ. (1988). Isolation and characterization of intact steryl ferulate from seeds. *Journal of Chromatography.* 440: 23–35.
9. Hu C, Zawistowski J, Ling W, Kitts DD. (2003). Black rice (*Oryza sativa L.* indica) pigmented fraction suppresses both reactive oxygen species and nitric oxide in chemical and biological model system. *Journal of Agricultural and Food Chemistry.* 51: 5271–5277.
10. Lai P, Li KY, Lu S, Chen HH. (2009). Phytochemicals and antioxidant activities of solvent extracts from *Japonica* rice bran. *Food Chemistry.* 117: 538–544.
11. McCaskill DR and Zhang F. (1999). Use of rice bran oil in foods. *Food Technology.* 53(2): 50–53.
12. Murphy MP. (1999). Nitric oxide and cell death. *Biochimica et Biophysica Acta.* 1411: 401–414

13. Norton RA. (1995). Quantification of steryl ferulate and p-coumarate esters from corn and rice bran. *Lipids*. 30: 269–274.
14. Rogers EJ, Rice SM, Nicolosi RJ, Carpenter DR, McClelland CA, Romanczyk LJ. (1993). Identification and quantification of γ -oryzanol components and simultaneous assessment of tocols in rice bran oil. *Journal of the American Oil Chemists' Society*. 70: 301–307.
15. Sayre B and Saunders R. (1990). Rice bran and rice bran oil. *Lipid Technology*. 2: 72–76.
16. Seetharamaiah GS and Prabhakar JV. (1986). Oryzanol content of Indian rice bran and its extraction from soap stock. *Journal of Food Science and Technology*. 23: 270–276.
17. Seitz LM. (1989). Stanol and sterol esters of ferulic and p-coumaric acids in wheat, corn, rye, and triticale. *Journal of Agricultural and Food Chemistry*. 37: 662–667.
18. Sreejayan and Rao MNA. (1997). Nitric oxide scavenging by curcuminoids. *Journal of Pharmacy and Pharmacology*. 49: 105–107.
19. Verschoyle RD, Greaves P, Cai H, Edwards RE, Steward WP, Gescher AJ. (2007). Evaluation of the cancer chemopreventive efficacy of rice bran in genetic mouse models of breast, prostate and intestinal carcinogenesis. *British Journal of Cancer*. 96: 248–254.
20. Yen GC and Lai HH. (2003). Inhibition of reactive nitrogen species effects in vitro and vivo by isoflavones and soy-based food extracts. *Journal of Agricultural and food chemistry*. 51: 7892–7900.
21. Zullaikah S, Melwita E, Ju YH. (2009). Isolation of oryzanol from crude rice bran oil. *Bioresource Technology*. 100: 299–302.